

- 公司地址: 上海市松江区新飞路1500弄松江科技创业中心5号/30号/68号楼
- 联系方式: 400-1683301或800-8283301
- 订货邮件: order@beyotime.com
- 订货QQ: 4001683301
- 技术支持: 电话4001683301/邮箱 info@beyotime.com
- 在线订购: www.beyotime.com



2023—2024  
细胞分析与检测  
精选目录

Serving Life Science  
Benefiting Lives

# 目录

# INDEX

- 01 细胞株
- 03 细胞组织培养
- 09 基因表达调控
- 12 细胞样品制备
- 13 细胞增殖与分化
- 15 细胞死亡与自噬
- 21 细胞组织染色
- 23 亚细胞研究
- 26 细胞产品引用文献摘选

# 标注使用碧云天产品 文献总数突破150,000篇!



碧云天由在哈佛大学工作和学习的留学人员创办于2001年。20余年来专注于自主研发和生产。2007年成立上海碧云天生物技术有限公司，为国家级专精特新“小巨人”企业，并进一步入选第二批第一年建议支持的国家级专精特新“小巨人”企业，也是上海市科技小巨人企业、G60科创走廊一类重点扶持企业、上海市高新技术企业和上海市专精特新中小企业。江苏碧云天为江苏省高新技术企业，南通市双创优企。公司主要研发生产生物、医学研究用试剂、试剂盒、消耗品和仪器设备，同时提供生命科学研究的的技术服务和一站式实验仪器设备采购平台。

截止2022年，已有累计超过150000篇注明使用碧云天产品的研究论文发表在包括Cell、Nature、Science等国际高水平学术期刊。Beyotime品牌年度文献引用率国内领先，并跻身全球20强。碧云天将继续致力于科研用技术和产品的研发，用我们最顶尖的技术、最成熟的产品、最热情的服务，服务生命科学，造福人民健康!



## 灵活的订货方式:

网址: [www.beyotime.com](http://www.beyotime.com)  
E-mail: [order@beyotime.com](mailto:order@beyotime.com)  
QQ: 4001683301  
电话: 400-1683301  
800-8283301

## 快速的配送物流:

> 京津冀、江浙沪皖、粤桂黔和湘闽川渝地区: 次日达  
> 其它主要大中城市: 隔日达

## 强大的技术支持:

电话: 400-1683301 QQ: 4001683301  
E-mail: [info@beyotime.com](mailto:info@beyotime.com)



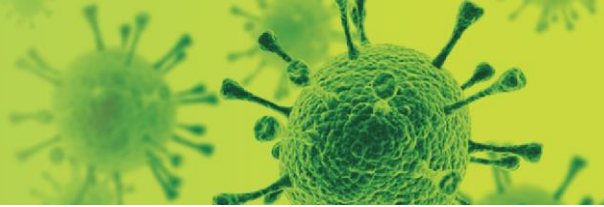
碧云天网站



微信公众号

上海碧云天生物技术有限公司  
**Beyotime Blotech Inc**  
[www.beyotime.com](http://www.beyotime.com)

# 细胞株

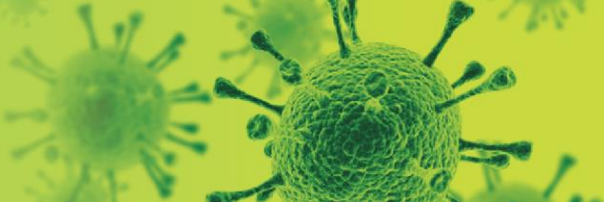


## 人细胞株

产品编号	产品名称	产品包装	产品价格
C6002	293 (人胚肾细胞)	1 支/瓶	1286 元
C6008	293T (人胚肾细胞)	1 支/瓶	1176 元
C6046	A-375 (人无黑色素性黑色素瘤)	1 支/瓶	1066 元
C6050	A-431 (人表皮癌细胞)	1 支/瓶	1112 元
C6052	A-498 (人肾癌细胞)	1 支/瓶	1196 元
C6053	A549 (人非小细胞肺癌细胞)	1 支/瓶	1066 元
C6123	BGC-823 (人胃癌细胞)	1 支/瓶	757 元
C6157	CAL-12T (人肺癌细胞)	1 支/瓶	1516 元
C6274	NCI-H1299 (人大细胞肺癌细胞)	1 支/瓶	2959 元
C6282	Hacat (人角质细胞)	1 支/瓶	1980 元
C6298	HCC827 (人非小细胞肺癌细胞)	1 支/瓶	1307 元
C6309	HCT 116 (人结肠癌细胞)	1 支/瓶	1209 元
C6330	HeLa (人宫颈癌细胞)	1 支/瓶	1098 元
C6344	Hep 3B (人肝癌细胞)	1 支/瓶	1980 元
C6365	HGC-27 (人胃癌细胞 未分化)	1 支/瓶	769 元
C6372	HL-60 (人早幼粒白血病细胞)	1 支/瓶	1307 元
C6407	HT1080 (人成纤维肉瘤细胞)	1 支/瓶	1086 元
C6410	HT-29 (人结肠癌细胞)	1 支/瓶	1198 元
C6453	JIMT-1 (人乳腺癌细胞)	1 支/瓶	1519 元
C6456	Jurkat (人 T 淋巴细胞瘤细胞)	1 支/瓶	1198 元
C6510	KYSE520 (人食管鳞癌细胞)	1 支/瓶	1512 元
C6515	LNCaP (人前列腺癌细胞)	1 支/瓶	1286 元
C6517	LNCaP clone FGC (人前列腺癌细胞)	1 支/瓶	1088 元
C6547	MCF7 (人乳腺癌细胞)	1 支/瓶	1088 元
C6550	MDA-MB-231 (人乳腺癌细胞)	1 支/瓶	1286 元
C6573	MeWo (人恶性黑色素瘤细胞)	1 支/瓶	1192 元
C6582	MGC-803 (人胃癌细胞)	1 支/瓶	659 元
C6585	MHCC97H (人肝癌细胞)	1 支/瓶	1980 元
C6586	MHCC97-L (低转移人肝癌细胞)	1 支/瓶	1980 元
C6591	MKN-45 (人胃癌细胞)	1 支/瓶	1096 元
C6600	MOLM13 (人急性髓原白血病细胞)	1 支/瓶	1859 元
C6606	MRC-5 (人胚肺细胞)	1 支/瓶	1558 元
C6639	NCI-H1573 (人肺腺腺癌细胞)	1 支/瓶	1552 元
C6643	NCI-H1666 (人肺支气管癌细胞)	1 支/瓶	1196 元
C6658	NCI-H2122 (人肺癌细胞)	1 支/瓶	1896 元
C6669	NCI-H23 (人非小细胞肺癌细胞)	1 支/瓶	1168 元
C6683	NCI-H358 (人非小细胞肺癌细胞)	1 支/瓶	1088 元
C6705	NCI-N87 (人胃癌细胞)	1 支/瓶	1209 元
C6716	NUGC-3 (人胃癌细胞)	1 支/瓶	1198 元
C6725	PANC-1 (人胰腺癌细胞)	1 支/瓶	1209 元
C6729	PC-3 (人前列腺癌细胞)	1 支/瓶	1209 元
C6732	PLC/PRF/5 (人肝癌细胞)	1 支/瓶	2309 元
C6746	QSG 7701 (人正常肝细胞)	1 支/瓶	659 元
C6763	RKO (人结肠腺癌细胞)	1 支/瓶	1307 元
C6779	RT112 (人膀胱癌细胞)	1 支/瓶	2959 元
C6795	SGC-7901 (人胃癌细胞)	1 支/瓶	659 元



# 细胞株



## 人细胞株

产品编号	产品名称	产品包装	产品价格
C6823	SH-SY5Y (人神经母细胞瘤细胞)	1 支/瓶	1398 元
C6830	SiHa (人宫颈癌细胞)	1 支/瓶	1528 元
C6837	SK-HEP-1 (人肝癌细胞)	1 支/瓶	1475 元
C6858	SK-OV-3 (人卵巢腺癌细胞)	1 支/瓶	1273 元
C6865	SMMC-7721 (人肝癌细胞)	1 支/瓶	659 元
C6870	SNU-16 (人胃癌细胞)	1 支/瓶	1516 元
C6881	SR (人大细胞免疫母细胞淋巴瘤细胞)	1 支/瓶	1958 元
C6915	SW480 (人结肠癌细胞)	1 支/瓶	1319 元
C6923	SW837 (人结直肠腺癌上皮细胞)	1 支/瓶	1198 元
C6928	T24 (人膀胱癌细胞)	1 支/瓶	1088 元
C6946	TE-1 (人食管癌细胞)	1 支/瓶	978 元
C6960	THP-1 (人急性单核白血病细胞)	1 支/瓶	1088 元
C6979	U266B1 (人外周淋巴悬浮细胞)	1 支/瓶	1518 元
C6981	U-87 MG (人恶性胶质母细胞瘤细胞)	1 支/瓶	1307 元
C7007	WSU-DLCL-2 (人弥漫大 B 淋巴瘤细胞)	1 支/瓶	1519 元

## 小鼠细胞株

产品编号	产品名称	产品包装	产品价格
C7204	NIH/3T3 (小鼠胚胎成纤维细胞)	1 支/瓶	1060 元
C7205	3LL (小鼠肺癌细胞)	1 支/瓶	1526 元
C7218	4T1 (小鼠乳腺癌细胞)	1 支/瓶	1241 元
C7253	B16-F10 (小鼠黑色素瘤高转移细胞)	1 支/瓶	1085 元
C7295	CT26.WT (小鼠结肠癌细胞)	1 支/瓶	1454 元
C7313	EL4 (小鼠胸腺淋巴瘤细胞)	1 支/瓶	1485 元
C7349	H22 (小鼠肝癌细胞)	1 支/瓶	2867 元
C7355	Hepa1-6 (小鼠肝癌细胞)	1 支/瓶	944 元
C7383	L1210 (小鼠白血病细胞)	1 支/瓶	1226 元
C7399	MC38 (小鼠结肠癌细胞)	1 支/瓶	1192 元
C7473	P388D1 (小鼠淋巴瘤细胞)	1 支/瓶	886 元
C7505	RAW 264.7 (小鼠单核巨噬细胞)	1 支/瓶	1241 元

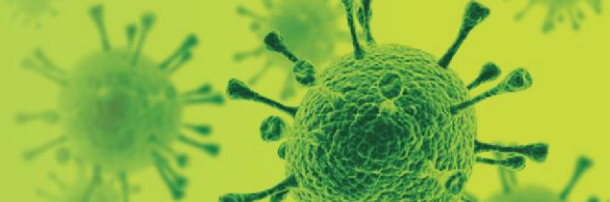
## 过表达稳转细胞株

产品编号	产品名称	产品包装	产品价格
C8001	EGFP-p65 HeLa Cells	1 支/瓶	1798 元
C8005	mCherry-p65 HeLa Cells	1 支/瓶	1798 元
C8007	EGFP-p65 NIH/3T3 Cells	1 支/瓶	1798 元
C8010	mCherry-p65 NIH/3T3 Cells	1 支/瓶	1798 元

## 其他细胞株

产品编号	产品名称	产品包装	产品价格
C7744	CHO (仓鼠卵巢细胞)	1 支/瓶	944 元
C7757	COS-7 (非洲绿猴肾细胞)	1 支/瓶	625 元

# 细胞组织培养



## 培养液相关

产品编号	产品名称	产品包装	产品价格
ST2506	矿物油(Suitable for mouse embryo cell culture, BioReagent)	50ml/250ml/1L	32/106/304 元
C0211	L-Ala-Gln (100X)	100ml	122 元
C0212	L-Glutamine (100X)	100ml	60 元
C0215	HEPES Solution (1M, pH7.3, 细胞培养用)	100ml/500ml	109/405 元
C0216	细胞外液(Extracellular Solution)	500ml	51 元
C0218	Hanks' Balanced Salt Solution	500ml	49 元
C0219	Hanks' Balanced Salt Solution (with Ca <sup>2+</sup> & Mg <sup>2+</sup> )	500ml	49 元
C0220	7.5% NaHCO <sub>3</sub> 溶液	100ml	39 元
C0221A	PBS	500ml	48 元
C0221D	D-PBS	500ml	49 元
C0221G	D-PBS (with Ca <sup>2+</sup> & Mg <sup>2+</sup> )	500ml	49 元
C0222	青霉素-链霉素溶液(100X)	100ml	53 元
C0223	青霉素-链霉素-庆大霉素溶液(100X)	100ml	102 元
C0224	青霉素-链霉素-两性霉素 B 溶液(100X)	100ml	102 元
C0331	Sodium Pyruvate (100X)	100ml	67 元
C0332	MEM Non-Essential Amino Acids Solution (100X)	100ml	89 元
C0341	ITS Media Supplement (100X)	10ml	175 元
C0343	ITS-A Media Supplement (100X)	10ml	185 元
C0345	ITS-X Media Supplement (100X)	10ml	195 元
P3378	Recombinant Human Insulin (Powder)	20mg/100mg/500mg	286/900/2827 元
ST508	Poly-D-lysine/多聚赖氨酸	10mg	468 元
ST2041	L-丙胺酰-谷氨酰胺(>99.5%, BioReagent)	5g/25g/100g	70/236/621 元
C0213	Earle's Balanced Salt Solution (自噬诱导试剂)	500ml	60 元
C0214	Earle's Balanced Salt Solution (with Ca <sup>2+</sup> & Mg <sup>2+</sup> , 自噬诱导试剂)	500ml	60 元
C0288	支原体清除试剂	20mg/100mg	207/777 元
C0290	支原体清除试剂 Plus	10mg/50mg	277/833 元
C0292	支原体预防去除试剂 I	2ml/10ml	215/802 元
C0293	支原体预防去除试剂 II	2ml/10ml	229/857 元
C0296	支原体染色检测试剂盒	>100 次	289 元
C0298	Myco-Lumi™发光法支原体检测试剂盒(高灵敏度仪器用)	20 次/100 次	441/1760 元
C0299S	Myco-Lumi™发光法支原体检测阳性对照	20 次	549 元
C0301S	支原体 PCR 检测试剂盒	250 次	659 元
C0312	Poly-D-lysine 溶液	2mg	120 元
C0313	Poly-L-lysine 溶液	5mg/25mg/25mg	120/475/1448 元
P3376	Insulin	4.5mg/90mg/18mg	178/2267/568 元
P5448	Recombinant Human aFGF	10μg/100μg/1mg	669/3075/9825 元
P5450	Recombinant Human aFGF, 2-155a.a.	10μg/100μg/1mg	669/3075/9825 元
P5453	Recombinant Human bFGF	10μg/100μg/1mg	669/1761/5235 元
P5462	Recombinant Human FGF-4	5μg/100μg/1mg	669/6138/19650 元
P5466	Recombinant Human KGF-1/FGF-7	10μg/100μg/1mg	1671/10650/34065 元
P5471	Recombinant Human FGF-9	5μg/100μg/1mg	669/7993/25545 元
P5475	Recombinant Human KGF-2/FGF-10	5μg/25μg/100μg/1mg	669/1671/6138/19650 元
P5477	Recombinant Human FGF-12	10μg/100μg/1mg	1816/6135/21311 元
P5480	Recombinant Human FGF-13	5μg/100μg/1mg	669/6138/19650 元
P5482	Recombinant Human FGF-16	5μg/100μg/1mg	669/6138/19650 元

# 细胞组织培养

## 培养液相关

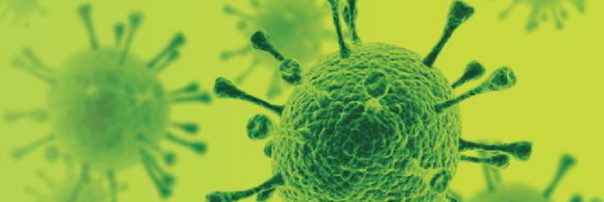
产品编号	产品名称	产品包装	产品价格
P5484-	Recombinant Human FGF-17	5µg/100µg/1mg	669/6138/19650 元
P5489	Recombinant Human FGF-19	5µg/100µg/1mg	669/6138/19650 元
P5493	Recombinant Human FGF-21	5µg/100µg/1mg	669/6138/19650 元
P5498	Recombinant Human FGF-23	5µg/100µg/1mg	669/7993/25545 元
P5552	Recombinant Human EGF	100µg/500µg/1mg	669/1671/2397 元
P5555	Recombinant Human EGF, 1-51a.a.	100µg/500µg/1mg	727/1816/2422 元
P5561	Recombinant Human VEGF165	10µg/100µg/1mg	1671/7993/25545 元
P5563	Recombinant Human VEGF165	10µg/100µg/1mg	1671/7993/25545 元
P5579	Recombinant Human PDGF-BB	10µg/100µg/1mg	1671.0/7987/25545 元
P5588	Recombinant Human HB-EGF	10µg/50µg/100µg/1mg	669/1671/3075/9825 元
P5590	Recombinant Human VEGF121	10µg/100µg/1mg	1671/7987/25545 元
P5606	Recombinant Human EG-VEGF	5µg/100µg/1mg	669/6138/19650 元
P6069	Recombinant Murine aFGF	10µg/100µg/1mg	669/3075/9825 元
P6074	Recombinant Murine bFGF	10µg/100µg/1mg	669/2862/9169 元
P6078	Recombinant Murine KGF-1/FGF-7	10µg/100µg/1mg	1671/12777/40872 元
P6083	Recombinant Murine FGF-8	5µg/100µg/1mg	669/6138/19650 元
P6087	Recombinant Murine FGF-9	10µg/100µg/1mg	1671/7987/25545 元
P6092	Recombinant Murine KGF-2/FGF-10	5µg/100µg/1mg	669/7363/23581 元
P6094	Recombinant Murine FGF-16	5µg/100µg/1mg	669/7363/23581 元
P6095	Recombinant Murine FGF-17	5µg/100µg/1mg	727/8003/25633 元
P6096	Recombinant Murine FGF-18	5µg/100µg/1mg	669/6138/19650 元
P6101	Recombinant Murine FGF-21	5µg/100µg/1mg	669/7363/23581 元
P6105	Recombinant Murine IGF-1	10µg/100µg/1mg	669/2862/9169 元
P6110	Recombinant Murine NOV	5µg/100µg/1mg	669/9592/30655 元
P6114	Recombinant Murine EGF	100µg/500µg/1mg	669/1671/2397 元
P6119	Recombinant Murine VEGF120	10µg/100µg/1mg	1671/9581/30655 元
P6121	Recombinant Murine VEGF120, Yeast	10µg/100µg/1mg	1816/8675/27765 元
P6123	Recombinant Murine VEGF164	2µg/10µg/100µg/1mg	669/1671/7987/25545 元
P6125	Recombinant Murine VEGF164, Yeast	10µg/100µg/1mg	1816/8675/27765 元
P6128	Recombinant Murine HB-EGF	10µg/100µg/1mg	669/3687/11786 元
P6130	Recombinant Murine PDGF-BB	10µg/100µg/1mg	1671/7987/25545 元
P6132	Recombinant Murine EG-VEGF	10µg/100µg/1mg	669/6138/19650 元
P6348	Recombinant Rat bFGF	10µg/100µg/1mg	669/2862/9169 元
P6353	Recombinant Rat FGF-9	5µg/100µg/1mg	669/9592/30655 元
P6357	Recombinant Rat KGF-2/FGF-10	5µg/100µg/1mg	669/7363/23581 元
P6362	Recombinant Rat FGF-18	5µg/100µg/1mg	669/6138/19650 元
P6366	Recombinant Rat FGF-21	5µg/100µg/1mg	669/7363/23581 元
P6371	Recombinant Rat IGF-1	10µg/100µg/1mg	669/3431/11006 元
P6375	Recombinant Rat EGF	100µg/1mg	2255/7206 元
P6378	Recombinant Rat VEGF120, Yeast	10µg/100µg/1mg	1816/8675/27765 元
P6380	Recombinant Rat VEGF164	2µg/10µg/100µg/1mg	669/1671/9581/30655 元
P6382	Recombinant Rat VEGF164, Yeast	10µg/100µg/1mg	1816/8675/27765 元
P6384	Recombinant Rat HB-EGF	10µg/100µg/1mg	669/3687/11786 元
P6389	Recombinant Rat PDGF-BB	10µg/100µg/1mg	1671/9581/30655 元
P6393	Recombinant Rat PDGF-AA	10µg/100µg/1mg	1671/9581/30655 元
P6443	Recombinant Bovine bFGF	10µg/100µg/1mg	669/2117/6282 元

# 细胞组织培养

## 培养液相关

产品编号	产品名称	产品包装	产品价格
P7509	Recombinant Human EGF GMP	5μg/100μg/1mg	265/876/2808 元
ST018	Blastic/idin S HCl (灭瘟素 S)	10mg/ml×1ml /10mg/ml×5ml /10mg/50mg	329/1429 元/296/1319 元
ST081	G418 (遗传霉素)	50mg/ml×1ml /50mg/ml×5ml/1g/5g	85 元/296 元/612/2692 元
ST083	L-Glutamine	10g/100g	337 元
ST090	HEPES, free acid (High Purity Grade)	10g/100g	42236 元
ST092	HEPES, free acid	100g/500g	73/293 元
ST447	PBS (1X, premixed powder)	1L/5×1L	13.50/55 元
ST448	PBS (10X, premixed powder)	1L	71 元
ST476	PBS (10X)	500ml	67 元
ST488	细胞培养用青霉素-链霉素	可配制 80L	110 元
ST872-	BeyoPure™ Ultrapure Water (Sterile)	100ml/500ml	20/42 元
ST875	BeyoPure™ Ultrapure Water (细胞培养级)	100ml/500ml	20/42 元
ST1135	Human Holo Transferrin	25mg/100mg /500mg	206/725 /3107 元
ST1254	地塞米松(≥99%, Reagent grade)	50mg/250mg/1g	50/123/309 元
ST1258	地塞米松(≥97%, BioPlus)	50mg/250mg/1g	136/339/845 元
ST1441	L-谷氨酰胺(99.0-101.0%, Reagent grade)	25g/100g/500g	23/72/256 元
ST1443	L-谷氨酰胺(99.0-101.0%, BioPremium)	25g/100g/500g	58/169/688 元元
ST1663	丙酮酸钠(≥99%, BioPlus)	5g/25g/100g	105/260/866 元
ST2051	D-Biotin (≥98%, Reagent grade)	1g/5g/25g/100g	52/149/558/1998 元
ST2483	L-组氨酸(≥99%, Reagent grade)	25g/100g/500g	84/259/926 元
ST2488	L-赖氨酸单盐酸盐(≥98.5%, BioPremium)	25g/100g/500g	29/77/242 元
ST1661	丙酮酸钠(98%, Reagent grade)	5g/25g/100g	23/48/108 元
ST2398	庆大霉素硫酸盐(~600 mug Gentamicin per mg, BioReagent)	1g/5g/25g	36/151/539 元
ST2528	硫酸新霉素(Reagent grade)	5g/25g/100g	27/91/261 元
ST2533	硫酸新霉素(≥600μg neomycin per mg, BioReagent)	1g/5g/25g	21/56/174 元
ST2551	盐酸土霉素(Reagent grade)	5g/25g/100g	34/82/156 元
ST2555	青霉素 G 钠盐(>1600U/mg, Reagent grade)	5g/25g/100g	46/128/367 元
ST2560	青霉素 G 钠盐(BioReagent)	5MU/25MU	60/166 元
ST2708	壮观霉素二盐酸盐五水合物(≥98.0%, ≥603μg/mg, BioReagent)	250mg/1g/5g	69/212/759 元
ST2713	壮观霉素二盐酸盐五水合物(≥603μg/mg, Reagent grade)	1g/5g/25g	51/159/612 元
ST2717	硫酸链霉素(≥720 I.U. per mg, Reagent grade)	5g/25g/100g	21/73/226 元
ST2722	硫酸链霉素(≥720 I.U. per mg, BioReagent)	1g/5g/25g	23/64/177 元
ST2753	四环素盐酸盐(≥95%, Reagent grade)	5g/25g/100g	25/85/261 元
ST2758	四环素盐酸盐(BioReagent)	250mg/1g/5g	31/76/174 元
ST2762	盐酸四环素溶液(10mg/ml, Reagent grade)	10ml	88 元
ST2794	酒石酸泰乐菌素(≥800units/mg, Reagent grade)	1g/5g/25g	40/126/421 元
ST2798	酒石酸泰乐菌素(≥800units/mg, BioReagent)	250mg/1g/5g	46/133/474 元
ST2177	两性霉素 B, 来源于链霉菌属(>750μg/mg, Reagent grade)	50mg/250mg/1g	26/64/160 元
ST2182	两性霉素 B (>750μg/mg, BioReagent)	50mg/250mg/1g	29/105/324 元

# 细胞组织培养



## 血清

产品编号	产品名称	产品包装	产品价格
C0226	胎牛血清(Biowest 原装, 产地南美)	500ml	3228 元
C0229	新生牛血清(AusgeneX 原装, 产地新西兰)	500ml	795 元
C0232	胎牛血清(Gibco 原装, 产地南美)	500ml	3598 元
C0234	胎牛血清(Gibco 分装, 产地澳洲)	50ml	638 元
C0235	胎牛血清(Gibco 原装, 产地澳洲)	500ml	6203 元
C0236	胎牛血清(原装, 产地澳洲)	500ml	6203 元
C0237	胎牛血清(Gibco 原装, 产地澳洲)	500ml	7250 元
C0238	胎牛血清(Gibco 原装, 产地澳洲)	500ml	9218 元
C0251	胎牛血清(产地南美)	50ml	286 元
C0252	胎牛血清(产地南美)	500ml	3398 元
C0258	新生牛血清(产地新西兰)	50ml	88 元
C0265	山羊血清	50ml	89 元

## 细胞组织消化

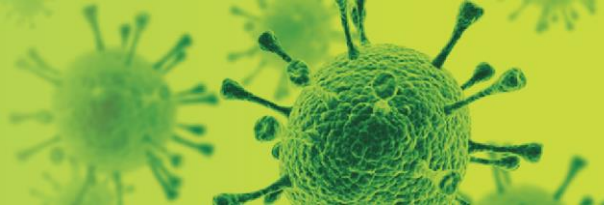
产品编号	产品名称	产品包装	产品价格
C0191	BeyoTryp™ Express Enzyme (1X, 含酚红, AOF)	100ml	128/458 元
C0192	BeyoTryp™ Express Enzyme (1X, 不含酚红, AOF)	100ml/500ml	129/459 元
C0193	BeyoTryp™ Express Enzyme (10X, 含酚红, AOF)	100ml	658 元
C0194	BeyoTryp™ Express Enzyme (10X, 不含酚红, AOF)	100ml	658 元
C0196	0.5M EDTA, pH8.0 (Sterile, Cell Culture Grade)	100ml/500ml	96/266 元
C0198	BeyoAOF™ 0.02% EDTA 细胞解离液(Versene 溶液)	100ml	36 元
C0201	胰酶细胞消化液(0.25%胰酶)	100ml/500ml	35.80/143 元
C0202	胰酶细胞消化液(0.05%胰酶)	100ml	38 元
C0203	胰酶细胞消化液(0.25%胰酶, 含酚红)	100ml/500ml	40/157 元
C0204	胰酶细胞消化液(0.05%胰酶, 含酚红)	100ml	40 元
C0205	胰酶细胞消化液(0.25%胰酶, 不含 EDTA)	100ml	38 元
C0207	胰酶细胞消化液(0.25%胰酶, 含酚红, 不含 EDTA)	100ml	39 元
C0208	BeyoAOF™重组胰酶细胞消化液(含酚红)	100ml/500ml	133/538 元
C0209	BeyoAOF™重组胰酶细胞消化液(不含酚红)	100ml	131 元
P4201	重组人胰蛋白酶	100mg/1g	2559/12795 元
P4205	重组猪胰蛋白酶	10mg/100mg	362/2530 元

## 原代细胞培养

产品编号	产品名称	产品包装	产品价格
C0312	Poly-D-lysine 溶液	2mg	120 元
C0313	Poly-L-lysine 溶液	5mg/25mg/100mg	120/475/1448 元
C3702	红细胞裂解液	120ml/500ml	82/260 元
S3200S	5C (人原代肝细胞功能维持组合物)	可配制 1L	1098 元
C0201	胰酶细胞消化液(0.25%胰酶)	100ml/500ml	35.80/143 元
C0202	胰酶细胞消化液(0.05%胰酶)	100ml	38 元
C0203	胰酶细胞消化液(0.25%胰酶, 含酚红)	100ml/500ml	40/157 元
C0204	胰酶细胞消化液(0.05%胰酶, 含酚红)	100ml	40 元
C0205	胰酶细胞消化液(0.25%胰酶, 不含 EDTA)	100ml	38 元
C0207	胰酶细胞消化液(0.25%胰酶, 含酚红, 不含 EDTA)	100ml	39 元
C0208	BeyoAOF™重组胰酶细胞消化液(含酚红)	100ml/500ml	133/538 元



# 细胞组织培养



## 原代细胞培养

产品编号	产品名称	产品包装	产品价格
C0209	BeyoAOF™重组胰酶细胞消化液(不含酚红)	100ml/500ml	131/537 元
C0211	L-Ala-Gln (100X)	100ml	122 元
C0215	HEPES Solution (1M, pH7.3, 细胞培养用)	100ml/500ml	109/405 元
C0218	Hanks' Balanced Salt Solution	500ml	49 元
C0219	Hanks' Balanced Salt Solution (with Ca <sup>2+</sup> & Mg <sup>2+</sup> )	500ml	49 元
C0221A	PBS	500ml	48 元
C0221D	D-PBS	500ml	49 元
C0221G	D-PBS (with Ca <sup>2+</sup> & Mg <sup>2+</sup> )	500ml	49 元
C0222	青霉素-链霉素溶液(100X)	100ml	53 元
C0223	青霉素-链霉素-庆大霉素溶液(100X)	100ml	102 元
C0224	青霉素-链霉素-两性霉素 B 溶液(100X)	100ml	102 元
C0331	Sodium Pyruvate (100X)	100ml	67 元
C0332	MEM Non-Essential Amino Acids Solution (100X)	100ml	89 元
C0341	ITS Media Supplement (100X)	10ml	175 元
C0343	ITS-A Media Supplement (100X)	10ml	185 元
C0345	ITS-X Media Supplement (100X)	10ml	195 元
ST508	Poly-D-lysine/多聚赖氨酸	10mg	468 元
ST1135	Human Holo Transferrin	25mg/100mg/500mg	206/725/3107 元
ST2041	L-丙氨酰-谷氨酰胺(≥99.5%, BioReagent)	5g/25g/100g	70/236/621 元

## 支原体检测与清除

产品编号	产品名称	产品包装	产品价格
C0280	Myco-Zero™支原体去除试剂	5 次/20 次/100 次	158/428/1698 元
C0283	Myco-Zero™支原体去除喷雾剂	500ml/2L	198/598 元
C0288	支原体清除试剂	20mg/100mg	207/777 元
C0290	支原体清除试剂 Plus	10mg/50mg	227/833 元
C0292	支原体预防去除试剂 I	2ml/10ml	215/802 元
C0293	支原体预防去除试剂 II	2ml/10ml	229/857 元
C0296	支原体染色检测试剂盒	>100 次	289 元
C0297	Myco-Lumi™发光法支原体检测试剂盒(低灵敏度仪器用)	20 次/100 次	483/1832 元
C0298	Myco-Lumi™发光法支原体检测试剂盒(高灵敏度仪器用)	20 次/100 次	441/1760 元
C0299S	Myco-Lumi™发光法支原体检测阳性对照	20 次	549 元
C0301S	支原体 PCR 检测试剂盒	250 次	659 元

## 细胞冻存

产品编号	产品名称	产品包装	产品价格
C0210	细胞冻存液	50ml	92 元
C0210B	BeyoAOF™无血清细胞冻存液	50ml/200ml	102/327 元
C0226	胎牛血清(Biowest 原装, 产地南美)	500ml	3228 元
C0232	胎牛血清(Gibco 原装, 产地南美)	500ml	3282 元
C0234	胎牛血清(Gibco 分装, 产地澳洲)	50ml	638 元
C0235	胎牛血清(Gibco 原装, 产地澳洲)	500ml	6203 元
C0236	胎牛血清(原装, 产地澳洲)	500ml	6203 元
C0237	胎牛血清(Gibco 原装, 产地澳洲)	500ml	7250 元

# 细胞组织培养

## 细胞冻存

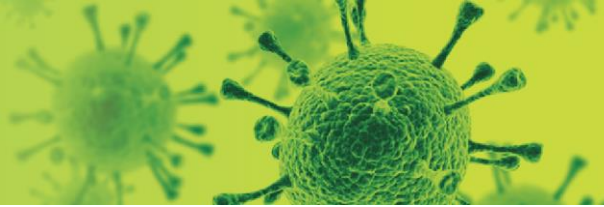
产品编号	产品名称	产品包装	产品价格
C0238	胎牛血清(Gibco 原装, 产地澳洲)	500ml	9218 元
C0229	新生牛血清(AusgeneX 原装, 产地新西兰)	500ml	795 元
ST038	DMSO	100ml/500ml	81/310 元
ST1276	DMSO 溶剂 (≥99%, Reagent grade)	100ml/500ml /6×500ml	58/189 /930 元
FCFC012	BeyoCool™细胞冻存盒	1 个/盒	279 元/盒

## 3D 培养

产品编号	产品名称	产品包装	产品价格
C0061	CellTiter-Lumi™发光法 3D 细胞活力检测试剂盒	100 次/500 次/2500 次	418/1398/5598 元
C0062	CellTiter-Lumi™ II 发光法 3D 细胞活力检测试剂盒	100 次/500 次/2500 次	418/1398/5598 元
C0371	Matrix-Gel™基质胶(标准型,含酚红)	1ml/5ml/10ml/50ml	339/1498/2728/12026.11 元
C0372	Matrix-Gel™基质胶(标准型, 不含酚红)	1ml/5ml/10ml/50ml	339/1498/2728/12026.11 元
C0375	Matrix-Gel™基质胶(低生长因子,含酚红)	1ml/5ml/10ml/50ml	429/1898/3466/15268 元
C0376	Matrix-Gel™基质胶(低生长因子, 不含酚红)	1ml/5ml/10ml/50ml	462/2048/3728/16428 元
C0382	Matrix-Gel™基质胶(高浓度,含酚红)	1ml/5ml/10ml/50ml	572/2529/4618/20358 元
C0383	Matrix-Gel™基质胶(高浓度, 不含酚红)	1ml/5ml/10ml/50ml	616/2726/4978/21926 元
C0386	Matrix-Gel™基质胶(高浓度低生长因子,含酚红)	1ml/5ml/10ml/50ml	652/2878/5248/23108 元
C0387	Matrix-Gel™基质胶(高浓度低生长因子,不含酚红)	1ml/5ml/10ml/50ml	652/2878/5248/23108 元
C0391	Matrix-Gel™基质胶(干细胞用,含酚红)	1ml/5ml/10ml/50ml	436/1936/3536/15558 元
C0392	Matrix-Gel™基质胶(干细胞用,不含酚红)	1ml/5ml/10ml/50ml	436/1936/3536/15558 元
C0395	Matrix-Gel™基质胶(类器官用,含酚红)	1ml/5ml/10ml/50ml	462/2048/3728/16428 元
C0396	Matrix-Gel™基质胶(类器官用, 不含酚红)	1ml/5ml/10ml/50ml	462/2048/3728/16428 元

## 细胞粘附

产品编号	产品名称	产品包装	产品价格
C0371	Matrix-Gel™基质胶(标准型,含酚红)	1ml/5ml/10ml/50ml	339/1498/2728/12026.11 元
C0372	Matrix-Gel™基质胶(标准型, 不含酚红)	1ml/5ml/10ml/50ml	339/1498/2728/12026.11 元
C0375	Matrix-Gel™基质胶(低生长因子,含酚红)	1ml/5ml/10ml/50ml	429/1898/3466/15268 元
C0376	Matrix-Gel™基质胶(低生长因子, 不含酚红)	1ml/5ml/10ml/50ml	462/2048/3728/16428 元
C0382	Matrix-Gel™基质胶(高浓度,含酚红)	1ml/5ml/10ml/50ml	572/2529/4618/20358 元
C0383	Matrix-Gel™基质胶(高浓度, 不含酚红)	1ml/5ml/10ml/50ml	616/2726/4978/21926 元
C0386	Matrix-Gel™基质胶(高浓度低生长因子,含酚红)	1ml/5ml/10ml/50ml	652/2878/5248/23108 元
C0387	Matrix-Gel™基质胶(高浓度低生长因子,不含酚红)	1ml/5ml/10ml/50ml	652/2878/5248/23108 元
C0391	Matrix-Gel™基质胶(干细胞用,含酚红)	1ml/5ml/10ml/50ml	436/1936/3536/15558 元
C0392	Matrix-Gel™基质胶(干细胞用,不含酚红)	1ml/5ml/10ml/50ml	436/1936/3536/15558 元
C0395	Matrix-Gel™基质胶(类器官用,含酚红)	1ml/5ml/10ml/50ml	462/2048/3728/16428 元
C0396	Matrix-Gel™基质胶(类器官用, 不含酚红)	1ml/5ml/10ml/50ml	462/2048/3728/16428 元
C0313	Poly-L-lysine 溶液	5mg/25mg/100mg	120/475/1448 元
ST508	Poly-D-lysine/多聚赖氨酸	10mg	468 元

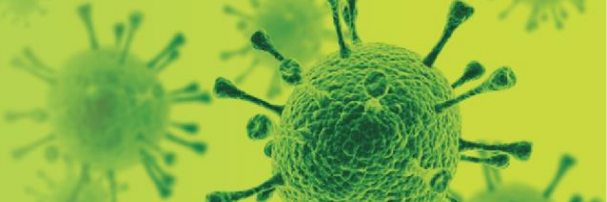


## 细胞转染

产品编号	产品名称	产品包装	产品价格
C0508	磷酸钙法细胞转染试剂盒	>200 次	292 元
C0511	DEAE-Dextran 细胞转染试剂盒	>200 次	391 元
C0518	Lipo293F™转染试剂	1ml/10ml/100ml	373/2436/15393 元
C0521	Lipo293™转染试剂	0.5ml/1.5ml/5×1.5ml	109/282/1098 元
C0526	Lipo6000™转染试剂	0.5ml/1.5ml/5×1.5ml	328/866/3477 元
C0533	Lipo8000™转染试剂	0.5ml/1.5ml/5×1.5ml	438/1167/4618 元
C0535	LipoRNAi™转染试剂	0.5ml/1.5ml/7.5ml	515/1319/5315 元
C0537	线性聚乙烯亚胺(Polyethylenimine, Linear)	20mg/100mg	468/1868 元
C0539	支化聚乙烯亚胺(Polyethylenimine, Branched)	5ml/25ml/100ml	68/278/886 元
C0551	LipoInsect™转染试剂	0.5ml/1.5ml/5×1.5ml	428/1131/4387 元
C0563	植物原生质体转染试剂盒	100 次/500 次	371/1345 元
ST551	Puromycin Dihydrochloride (嘌呤霉素)	10mg/ml×1ml /10mg/ml×5ml/250mg	208/868/3298 元
ST1389	Hygromycin B(潮霉素 B)	5g	2482 元
ST1450	Zeocin (博莱霉素)	20mg/100mg /20mg/ml×0.25ml /20mg/ml×1ml	692/2475/267/755 元

## 病毒感染

产品编号	产品名称	产品包装	产品价格
C0351	Polybrene (Hexadimethrine Bromide)	1ml/50mg	53/58 元
C2901	通用型病毒浓缩试剂盒	可用于 150ml/600ml/3L	412/1232/4556 元
C4001	Lenti-EF1α-Luc-T2A-Puro (10 <sup>8</sup> TU/ml, 萤光素酶示踪用)	100μl/1ml	621/4142 元
C4003	Lenti-CMV-EGFP-p65-EF1α-Puro (10 <sup>9</sup> TU/ml)	100μl	2888 元
C4005	Lenti-CMV-mCherry-p65-EF1α-Puro (10 <sup>9</sup> TU/ml)	100μl	2888 元
C4007	Lenti-CMV-CD9-EGFP (10 <sup>9</sup> TU/ml,外泌体示踪用)	100μl/100μl×5	2888/11588 元
C4009	Lenti-CMV-CD9-mCherry (10 <sup>9</sup> TU/ml,外泌体示踪用)	100μl/100μl×5	2888/11588 元
C4102	Lenti-EF1α-Cre-P2A-EGFP-Puro (10 <sup>8</sup> TU/ml)	100μl/1ml	621/4142 元
C4105	Lenti-EF1α-Cre-P2A-mCherry-Puro (10 <sup>8</sup> TU/ml)	100μl/1ml	621/4142 元
C4011	Lenti-CMV-CD63-EGFP (10 <sup>9</sup> TU/ml,外泌体示踪用)	100μl/100μl×5	2888/11588 元
C4013	Lenti-CMV-CD63-mCherry (10 <sup>9</sup> TU/ml,外泌体示踪用)	100μl/100μl×5	2888/11588 元
C4015	Lenti-CMV-CD81-EGFP (10 <sup>9</sup> TU/ml,外泌体示踪用)	100μl/100μl×5	2888/11588 元
C4017	Lenti-CMV-CD81-mCherry (10 <sup>9</sup> TU/ml,外泌体示踪用)	100μl/100μl×5	2888/11588 元
C3002	Lenti-mCherry-EGFP-LC3B (10 <sup>9</sup> TU/ml)	100μl	2992 元
C3003	Lenti-EGFP-LC3B (10 <sup>9</sup> TU/ml)	100μl	2992 元
C3006	Ad-GFP-LC3B	1ml/10ml	910/3740 元
C3011	Ad-mCherry-GFP-LC3B	1ml/10ml	910/3740 元
C3012	AdPlus-mCherry-GFP-LC3B	1ml/10ml	1088/4401 元
C3013	AAV-mCherry-GFP-LC3B (AAV9, 10 <sup>13</sup> vp/ml)	250μl	6195 元
C3015	Ad-GFP-p62	1ml/10ml	910/3740 元
C3016	Ad-mCherry-p62	1ml/10ml	910/3740 元
ST1380	Polybrene (≥94%, Reagent grade)	500mg/2g/10g	72/142/353 元



## 基因敲除库

碧云天基于 CRISPR/Cas9 技术推出了针对 4000 多个基因敲除的共 20000 余种产品，包括目的基因敲除质粒、慢病毒、HEK293T 细胞、HEK293T 敲除细胞的 RIPA 裂解液、HEK293T 敲除细胞的 Trizol 裂解液等产品，涵盖细胞增殖、凋亡、自噬、代谢等绝大多数研究领域。



**产品示意图**

**GAPDH基因敲除质粒**

产品编号: L26940  
产品包装: 5μg

选择型号: ☒ 质粒 ☐ 慢病毒 ☐ HEK293T细胞 ☐ HEK293T敲除细胞的RIPA裂解液  
☐ HEK293T敲除细胞的Trizol裂解液

选择包装: ☒ 5μg

数量:

[说明书下载](#)

产品特点：

- 标准严格：**质粒中的 sgRNA、慢病毒和细胞中目的基因的敲除已经通过金标准 T7E1 法验证；
- 产品丰富：**提供分别针对 4000 余种目的基因敲除的系列产品，如细胞凋亡、线粒体自噬、表观遗传调控、cAMP & Ca 信号通路相关、糖尿病等多领域研究相关基因，可轻松选择想要敲除的目的基因产品；
- 方便快捷：**每种目的基因提供相应的敲除质粒、慢病毒、HEK293T 细胞及细胞裂解液产品，可根据实验需求选择相应研究工具。

### 目的基因敲除质粒（库）

碧云天提供可以在动物细胞中同时表达 Cas9、人源目的基因 sgRNA 和 puromycin 抗性基因的质粒，本质粒可直接转染细胞用于目的基因的 CRISPR/Cas9 敲除，以及通过 puromycin 筛选稳定细胞株；也可以与 pMDLg、Rev 及 VSV-g 共转 HEK293T 细胞进行重组慢病毒(lentivirus)的包装，然后再用于感染细胞或组织并进行目的基因的 CRISPR/Cas9 敲除。

**建议：**实验时需采用无任何靶向的对照质粒 pLenti-Control-sgRNA 作对照。

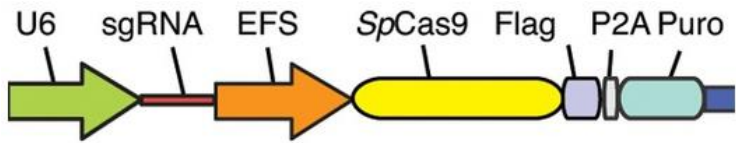


图 1.表达 sgRNA、Cas9 和 puromycin 抗性的 pLenti-sgRNA 质粒关键图谱信息。

### 目的基因敲除慢病毒（库）

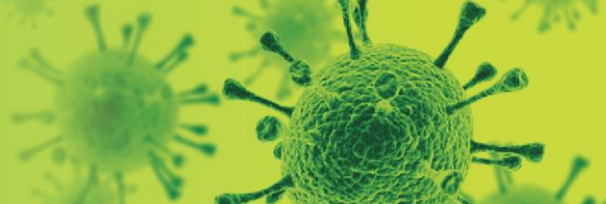
碧云天提供感染动物细胞后可以同时表达 Cas9、目的基因 sgRNA 和 puromycin 抗性基因的慢病毒。本慢病毒可用于感染细胞或组织并进行目的基因的 CRISPR/Cas9 敲除。

**建议：**实验时需采用无任何靶向的对照慢病毒 Control Knockout Lentivirus 作对照。

### 目的基因敲除 HEK293T 细胞敲除（库）

目的基因敲除 HEK293T 细胞是通过同时表达 Cas9、目的基因 sgRNA 和 puromycin 抗性基因，并实现了目的基因 CRISPR 敲除的 HEK293T 细胞。本系列细胞株是多克隆细胞\*，可用于该目的基因的生物学功能研究，也可以用于该基因相应抗体的验证。

# 基因表达调控



**建议：**实验时需采用无任何靶向的对照细胞 Control Knockout HEK293T Cells 作对照

\*由于本细胞是通过 CRISPR/Cas9 技术获得的多克隆细胞，基于 CRISPR/Cas9 技术的特点，理论上平均有 2/3 的细胞发生移码突变而导致了目的基因的敲除，平均有 1/3 的细胞并未发生移码突变。很多情况下有约 2/3 的细胞发生目的基因的敲除，已经足以进行很多的目的基因的生物学功能的研究了。如果希望获得 100%基因敲除的细胞，可以自行使用本产品筛选单克隆细胞，或者委托碧云天进行单克隆细胞株的筛选服务。

## 目的基因敲除 HEK293T 细胞 RIPA 裂解液

目的基因敲除 HEK293T 细胞 RIPA 裂解液是通过同时表达 Cas9、目的基因 sgRNA 和 puromycin 抗性基因并实现了目的基因 CRISPR 敲除的多克隆 HEK293T 细胞的 RIPA 裂解液。

**建议：**实验时需采用无任何靶向的对照细胞 RIPA 裂解液 Control Knockout HEK293T RIPA Lysate 作对照。

## 目的基因敲除 HEK293T 细胞 Trizol 裂解液

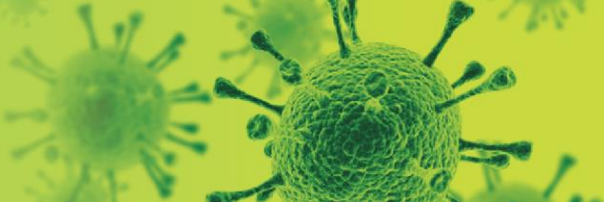
目的基因敲除 HEK293T 细胞 Trizol 裂解液是通过同时表达 Cas9、目的基因 sgRNA 和 puromycin 抗性基因，并实现了目的基因 CRISPR 敲除的多克隆 HEK293T 细胞的 Trizol 裂解液。本产品可用于该目的基因敲除后其信号通路相关 RNA 表达的研究。

**建议：**实验时需采用无任何靶向的对照细胞 Trizol 裂解液 Control Knockout HEK293T Trizol Lysate 作对照。

**更多产品信息可扫描下方二维码进行查看**



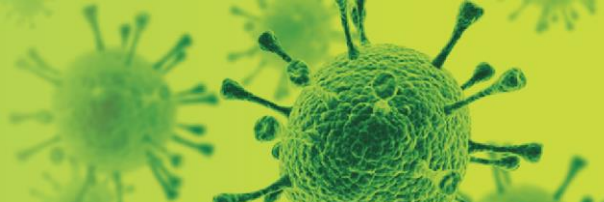




## 细胞组分分离

产品编号	产品名称	产品包装	产品价格
C0362S	植物原生质体分离试剂盒	5mlX20 次	796 元
C3601	细胞线粒体分离试剂盒	50-100 次	453 元
C3606	组织线粒体分离试剂盒	50-100 次	455 元
C3609	线粒体储存液	50ml	58 元
C3702	红细胞裂解液	120ml/500ml	82/260 元
P0027/28	细胞核蛋白与细胞浆蛋白抽提试剂盒	50 次/100 次	525/879 元
P0033	细胞膜蛋白与细胞浆蛋白提取试剂盒	100 次	700 元
P1005/06	蛋白酶抑制剂混合物(通用型, 100X)	1ml/5ml	307/1220 元
P1008/09	蛋白酶抑制剂混合物(通用型, 质谱兼容, 50X)	1ml/5ml	497/1991 元
P1010/11	蛋白酶抑制剂混合物(哺乳动物样品抽提用, 100X)	1ml/5ml	328/1307 元
P1015/16	蛋白酶抑制剂混合物(植物样品抽提用, 100X)	1ml/5ml	428/1715 元
P1020/21	蛋白酶抑制剂混合物(真菌或酵母抽提用, 100X)	1ml/5ml	303/1217 元
P1025/26	蛋白酶抑制剂混合物(细菌抽提用, 100X)	1ml/5ml	185/736 元
P1030/31	蛋白酶抑制剂混合物(His-Tag 蛋白纯化用, 100X)	1ml/5ml	337/1350 元
P1045/46	蛋白酶磷酸酶抑制剂混合物(通用型, 50X)	各 2ml/各 10ml	338/1350 元
P1048/49	蛋白酶磷酸酶抑制剂混合物(通用型, 质谱兼容, 50X)	各 1ml/各 5ml	535/2120 元
P1050/51	蛋白酶磷酸酶抑制剂混合物(哺乳动物样品抽提用, 50X)	各 2ml/各 10ml	358/1429 元
P1055/56	蛋白酶磷酸酶抑制剂混合物(植物样品抽提用, 50X)	各 2ml/各 10ml	461/1845 元
P1060/61	蛋白酶磷酸酶抑制剂混合物(真菌或酵母抽提用, 50X)	各 2ml/各 10ml	337/1350 元
P1065/66	蛋白酶磷酸酶抑制剂混合物(细菌抽提用, 50X)	各 2ml/各 10ml	215/865 元
P1081/81	磷酸酶抑制剂混合物 A (50X)	2ml/10ml	42/175 元
P1086/87	磷酸酶抑制剂混合物 B (50X)	2ml/10ml	46/178 元
P1091/91	磷酸酶抑制剂混合物 C (50X)	2ml/10ml	145/581 元
P1096/97	磷酸酶抑制剂混合物 D (50X)	2ml/10ml	295/1176 元
P1112/13	去乙酰化酶抑制剂混合物(100X)	1ml/5ml	182/722 元
P2156	BeyoMag™ Concanavalin A Magnetic Beads (刀豆素 A 磁珠)	200μl/1ml/5ml	186/688/2598 元

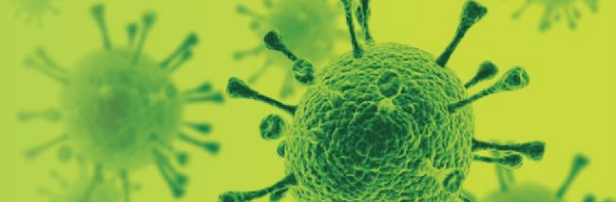
# 细胞增殖与分化



## 细胞增殖

产品编号	产品名称	产品包装	产品价格
C0009	MTT 细胞增殖及细胞毒性检测试剂盒	500 次/2500 次	253/759 元
C0011	台盼蓝染色细胞存活率检测试剂盒	100 次	109 元
C0013	中性红细胞增殖及细胞毒性检测试剂盒	500 次	289 元
C0016/17	乳酸脱氢酶细胞毒性检测试剂盒	100 次/500 次	223/617 元
C0035/36/36L	WST-1 细胞增殖及细胞毒性检测试剂盒	100 次/500 次/2500 次	99/408/1296 元
C0037/38/39/40	Cell Counting Kit-8 (CCK-8 试剂盒)	100 次/500 次/2500 次 /10000 次	99/410/1306/4386 元
C0041/42/43/46	Enhanced Cell Counting Kit-8 (增强型 CCK-8 试剂盒)	100 次/500 次/2500 次 /10000 次	132/482/1576/5251 元
C0048	Super-Enhanced Cell Counting Kit-8 (超强型 CCK-8 试剂盒)	100 次/500 次/2500 次 /10000 次	146/558/1818/5788 元
C0051	CFDA SE 细胞增殖与示踪检测试剂盒	2000 次	1001 元
C0056	CellTiter-Lumi™ II 发光法细胞活力检测试剂盒	100 次/500 次/2500 次 /10000 次	178/633/2571/8276 元
C0057	CellTiter-Lumi™ Plus II 发光法细胞活力检测试剂盒	100 次/500 次/2500 次 /10000 次	338/1166/4729/15332 元
C0058	CellTiter-Lumi™ Steady II 发光法细胞活力检测试剂盒	100 次/500 次/2500 次 /10000 次	193/6692747/8895 元
C0059	CellTiter-Lumi™ Steady Plus II 发光法细胞活力检测试剂盒	100 次/500 次/2500 次 /10000 次	372/1242/5075/16471 元
C0065	CellTiter-Lumi™ 发光法细胞活力检测试剂盒	100 次/500 次/2500 次 /10000 次	178/633/2571/8276 元
C0068	CellTiter-Lumi™ Plus 发光法细胞活力检测试剂盒	100 次/500 次/2500 次 /10000 次	338/1166/4729/15332 元
C0069	CellTiter-Lumi™ Steady 发光法细胞活力检测试剂盒	100 次/500 次/2500 次 /10000 次	193/669/2747/8895 元
C0070	CellTiter-Lumi™ Steady Plus 发光法细胞活力检测试剂盒	100 次/500 次/2500 次 /10000 次	372/1242/5075/16471 元
C0071	BeyoClick™ EdU-488 细胞增殖检测试剂盒	50-500 次/200-2000 次	690/2183 元
C0061	CellTiter-Lumi™ 发光法 3D 细胞活力检测试剂盒	100 次/500 次/2500 次	418/1398/5598 元
C0062	CellTiter-Lumi™ II 发光法 3D 细胞活力检测试剂盒	100 次/500 次/2500 次	418/1398/5598 元
C0075	BeyoClick™ EdU-555 细胞增殖检测试剂盒	50-500 次/200-2000 次	690/2183 元
C0078	BeyoClick™ EdU-594 细胞增殖检测试剂盒	50-500 次/200-2000 次	690/2183 元
C0081	BeyoClick™ EdU-647 细胞增殖检测试剂盒	50-500 次/200-2000 次	690/2183 元
C0085	BeyoClick™ EdU 细胞增殖检测试剂盒(DAB 法)	50-500 次/200-2000 次	690/2183 元
C0088	BeyoClick™ EdU 细胞增殖检测试剂盒(TMB 法)	500 次/2000 次	690/2183 元
C2012	Calcein AM (钙黄绿素 AM)	2mM×0.1ml /2mM×0.5ml	295/990 元
C2013	Calcein AM 细胞活性检测试剂盒(CCK-F)	100 次/500 次/2500 次	136/547/2028 元
C2013	Calcein AM 细胞活性检测试剂盒(CCK-F)	100 次/500 次	136/547
C2015	Calcein/PI 细胞活性与细胞毒性检测试剂盒	100 次/500 次	112/400
ST067	EdU	50mg/250mg/1g	358/1343/4175 元
ST316	MTT	500mg	215 元
ST320	WST-8	100mg/500mg/2g/10g	495/1718/5489/20925 元
C1052	细胞周期与细胞凋亡检测试剂盒	50 次	338 元

# 细胞增殖与分化



## 细胞分化

产品编号	产品名称	产品包装	产品价格
C0138	茜素红 S 染色液(2%, pH4.2)	100ml/500ml	109/408 元
C0140	茜素红 S 染色液(0.2%, pH8.3)	100ml/500ml	59/228 元
C0148S	成骨细胞矿化结节染色试剂盒(茜素红 S 法)	50 次	158 元
P0321	碱性磷酸酶检测试剂盒	100 次/500 次	316/1167 元

## 细胞衰老

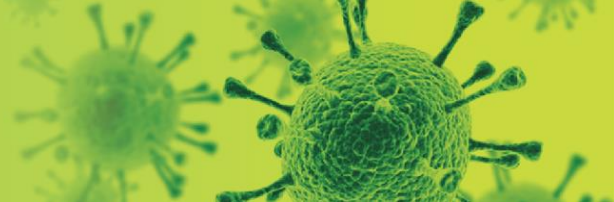
产品编号	产品名称	产品包装	产品价格
C0602	细胞衰老 $\beta$ -半乳糖苷酶染色试剂盒	>100 次	658 元
C0605	溶酶体 $\beta$ -半乳糖苷酶染色试剂盒	>100 次	519 元



## 细胞凋亡

产品编号	产品名称	产品包装	产品价格
C0003	细胞凋亡—Hoechst 染色试剂盒	100 次	402 元
C0005	细胞凋亡阳性对照试剂盒	200 次	246 元
C0006S	细胞凋亡诱导试剂盒(TNF-α+SM-164)	100 次	393 元
C0007	细胞凋亡-DNA Ladder 抽提试剂盒	50 次	219 元
C0008	细胞凋亡—DNA Ladder 抽提试剂盒(离心柱式)	50 次	496 元
C1052	细胞周期与细胞凋亡检测试剂盒	50 次	338 元
C1056	细胞凋亡与坏死检测试剂盒	100 次	246 元
C1062	Annexin V-FITC 细胞凋亡检测试剂盒	20 次/50 次/100 次	616/1098/1566 元
C1065	Annexin V-PE 细胞凋亡检测试剂盒	20 次/50 次/100 次	716/1188/1698 元
C1067	Annexin V-EGFP 细胞凋亡检测试剂盒	20 次/50 次	615/1096 元
C1069	Annexin V-mCherry 细胞凋亡检测试剂盒	20 次/50 次/100 次	589/959/1389 元
C1070	Annexin V-mCherry/SYTOX Green 细胞凋亡检测试剂盒	20 次/50 次	689/1189 元
C1071	线粒体膜电位与细胞凋亡检测试剂盒	20 次/50 次	725/1283 元
C1075	YO-PRO-1/PI 细胞凋亡与坏死检测试剂盒	100 次/500 次	475/1583 元
C1077	活细胞 Caspase-3 活性与 Annexin V 细胞凋亡检测试剂盒	20 次/50 次	828/1449 元
C1082	TUNEL 检测阳性对照制备试剂盒	10 次	200 元
C1086/88	一步法 TUNEL 细胞凋亡检测试剂盒(绿色荧光)	20 次/50 次	1472/2627 元
C1089/90	一步法 TUNEL 细胞凋亡检测试剂盒(红色荧光)	20 次/50 次	1505/2669 元
C1091/98	TUNEL 细胞凋亡检测试剂盒(显色法)	20 次/50 次	1656/2868 元
C1101/02	Caspase 1 活性检测试剂盒	20 次/100 次	572/1957 元
C1107/08	Caspase 2 活性检测试剂盒	20 次/100 次	601/2065 元
C1115/16	Caspase 3 活性检测试剂盒	20 次/100 次	530/1845 元
C1121/22	Caspase 4 活性检测试剂盒	20 次/100 次	601/2073 元
C1135/36	Caspase 6 活性检测试剂盒	20 次/100 次	601/2073 元
C1151/52	Caspase 8 活性检测试剂盒	20 次/100 次	576/1993 元
C1157/58	Caspase 9 活性检测试剂盒	20 次/100 次	591/2005 元
C1168	GreenNuc™活细胞 Caspase-3 活性检测试剂盒	20-40 次/100-200 次	441/1715 元
C1202	Caspase 抑制剂 Z-VAD-FMK	20mM×0.02ml /20mM×0.1ml/5mg	372/725 /1792 元
C1206	Caspase 3 抑制剂 Ac-DEVD-CHO	10mM×0.1ml/5mg	476/2847 元
C2009S	线粒体通透性转换孔(MPTP)检测试剂盒	100-1000 次	1967 元
C2022	YO-PRO-1 (凋亡与坏死细胞绿色荧光探针)	1mM×0.2ml /1mM×1ml	309/930 元
P9705	Ac-VDQD-pNA (Caspase 2 显色底物)	20mM×0.1ml /5mg/25mg	431/441/1539 元
P9710	Ac-DEVD-pNA (Caspase 3 显色底物)	20mM×0.1ml /5mg/25mg	431/441/1539 元
P9714	Ac-LEVD-pNA (Caspase 4 显色底物)	20mM×0.1ml /5mg/25mg	431/441/1539 元
P9719	Ac-VEID-pNA (Caspase 6 显色底物)	20mM×0.1ml /5mg/25mg	431/441/1539 元
P9723	Ac-IETD-pNA (Caspase 8 显色底物)	20mM×0.1ml /5mg/25mg	431/441/1539 元
P9728	Ac-LEHD-pNA (Caspase 9 显色底物)	20mM×0.1ml /5mg/25mg	431/441/1539 元

# 细胞死亡与自噬

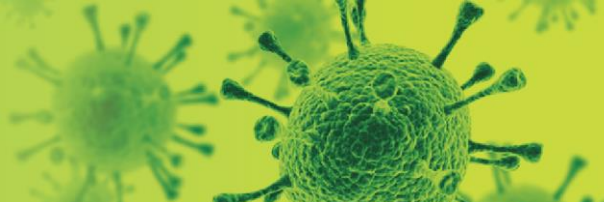


## 细胞凋亡

产品编号	产品名称	产品包装	产品价格
AB026	Bax 抗体(小鼠单抗)	>20 次	732 元
AB112	Bcl-2 抗体(兔多抗)	>20 次	793 元
AC030	Caspase-3 抗体(兔多抗)	>20 次	865 元
AC033	Caspase-3(激活型)抗体(兔单抗)	>20 次	1013 元
AC056	Caspase-8 抗体(兔多抗)	>20 次	799 元
AC062	Caspase-9 抗体(小鼠单抗)	>10 次	683 元
AC908	Cytochrome C 抗体(小鼠单抗)	10μg	530 元
AC909	Cytochrome C 抗体(小鼠单抗)	>20 次	531 元
AF0054	BAX Mouse Monoclonal Antibody	50μl	482 元
AF0057	BAX Rabbit Polyclonal Antibody	50μl	482 元
AF0060	Bcl-2 Rabbit Polyclonal Antibody	50μl	482 元
AF0081	Caspase-3 Rabbit Polyclonal Antibody	50μl	636 元
AF1123	Caspase-2 Rabbit Monoclonal Antibody	50μl	709 元
AF1150	Caspase 3 (active) Rabbit Monoclonal Antibody	50μl	709 元
AF1204	PUMA Rabbit Monoclonal Antibody	50μl	709 元
AF1213	Caspase-3 Rabbit Monoclonal Antibody	50μl	709 元
AF1243	Caspase-8 Rabbit Monoclonal Antibody	50μl	709 元
AF1261	pro Caspase 3 Rabbit Monoclonal Antibody	50μl	709 元
AF1264	Caspase-9 Rabbit Monoclonal Antibody	50μl	709 元
AF1390	MCL1 Rabbit Monoclonal Antibody	50μl	709 元
AF1567	Cleaved PARP Rabbit Monoclonal Antibody	50μl	709 元
AF1573	Bim Rabbit Monoclonal Antibody	50μl	709 元
AF1591	Bak Rabbit Monoclonal Antibody	50μl	709 元
AF1657	PARP Rabbit Monoclonal Antibody	50μl	709 元
AF1675	active+pro Caspase 3 Rabbit Monoclonal Antibody	50μl	709 元
AF1927	Caspase-6 Rabbit Monoclonal Antibody	50μl	709 元
AF5264	PARP1 Rabbit Polyclonal Antibody (KO Validated)	50μl	593 元
AF5333	XIAP Rabbit Polyclonal Antibody (KO Validated)	50μl	593 元
AF6279	BAG1 Rabbit Polyclonal Antibody	50μl	593 元
AF6285	Bcl2 Rabbit Polyclonal Antibody	50μl	593 元
AF6288	BCL2L1/Bcl-xL Rabbit Polyclonal Antibody	50μl	593 元
AF6309	BMI1 Rabbit Polyclonal Antibody	50μl	593 元
AX356	XIAP 抗体(兔多抗)	>20 次	805 元
C0009	MTT 细胞增殖及细胞毒性检测试剂盒	500 次/2500 次	253/759 元
C0011	台盼蓝染色细胞存活率检测试剂盒	100 次	109 元
C0013	中性红细胞增殖及细胞毒性检测试剂盒	500 次	289 元
C0016/17	乳酸脱氢酶细胞毒性检测试剂盒	100 次/500 次	223/617 元
C0035/36/36L	WST-1 细胞增殖及细胞毒性检测试剂盒	100 次/500 次/2500 次	99/408/1296 元
C0037/38/39/40	Cell Counting Kit-8 (CCK-8 试剂盒)	100 次/500 次/2500 次 /10000 次	99/410/1306/4386 元
C0041/42/43/46	Enhanced Cell Counting Kit-8 (增强型 CCK-8 试剂盒)	100 次/500 次/2500 次 /10000 次	132/482/1576/5251 元
C0056	CellTiter-Lumi™ II 发光法细胞活力检测试剂盒	100 次/500 次/2500 次 /10000 次	178/633/2571/8276 元
C0057	CellTiter-Lumi™ Plus II 发光法细胞活力检测试剂盒	100 次/500 次/2500 次 /10000 次	338/1166/4729/15332 元



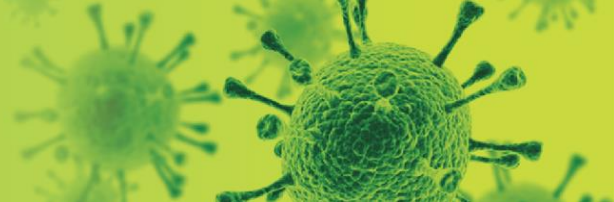
# 细胞死亡与自噬



## 细胞凋亡

产品编号	产品名称	产品包装	产品价格
C0058	CellTiter-Lumi™ Steady II 发光法细胞活力检测试剂盒	100 次/500 次/2500 次 /10000 次	193/669/2747/8895 元
C0059	CellTiter-Lumi™ Steady Plus II 发光法细胞活力检测试剂盒	100 次/500 次/2500 次 /10000 次	372/1242/5075/16471 元
C0065	CellTiter-Lumi™ 发光法细胞活力检测试剂盒	100 次/500 次 /2500 次/10000 次	178/633/2571/8276 元
C0068	CellTiter-Lumi™ Plus 发光法细胞活力检测试剂盒	100 次/500 次 /2500 次/10000 次	338/1166/4729/15332 元
C0069	CellTiter-Lumi™ Steady 发光法细胞活力检测试剂盒	100 次/500 次 /2500 次/10000 次	193/669/2747/8895 元
C0070	CellTiter-Lumi™ Steady Plus 发光法细胞活力检测试剂盒	100 次/500 次 /2500 次/10000 次	372/1242/5075/16471 元
C0061	CellTiter-Lumi™ 发光法 3D 细胞活力检测试剂盒	100 次/500 次/2500 次	418/1398/5598 元
C0062	CellTiter-Lumi™ II 发光法 3D 细胞活力检测试剂盒	100 次/500 次/2500 次	418/1398/5598 元
C1002	DAPI	5mg/ml×0.2ml	257 元
C1005/06	DAPI 染色液	10ml/50ml	105/365 元
C1011	Hoechst 33258	10mg	218 元
C1017/18	Hoechst 33258 染色液	10ml/50ml	111/362 元
C1022	Hoechst 33342	10mg	223 元
C1025/26	Hoechst 33342 染色液	10ml/50ml	105/353 元
C1027/28/29	Hoechst 33342 活细胞染色液(100X)	0.1ml/0.5ml/3ml	111/362/1098 元
C2001S	线粒体膜电位检测试剂盒(TMRE)	100-1000 次	725 元
C2003S	增强型线粒体膜电位检测试剂盒(JC-1)	>100 次	1138 元
C2008S	线粒体膜电位检测试剂盒(Rhodamine 123)	100-1000 次	725 元
C2012	Calcein AM (钙黄绿素 AM)	2mM×0.1ml /2mM×0.5ml	295/990 元
C2013	Calcein AM 细胞活性检测试剂盒(CCK-F)	100 次/500 次/2500 次	136/547/2028 元
C2015	Calcein/PI 细胞活性与细胞毒性检测试剂盒	100 次/500 次/2500 次	112/400/1613 元
C2025	YO-PRO-1/RNase 细胞核染色液	10ml/50ml	143/433 元
C2035S	DNA 损伤检测试剂盒(γ-H2AX 免疫荧光法)	>100 次	1656 元
C3018	细胞自噬染色检测试剂盒(MDC 法)	50-500 次/200-2000 次	278/827 元
C3019	细胞自噬与细胞毒性染色检测试剂盒(MDC/PI 法)	50-500 次/200-2000 次	329/992 元
P7248	Recombinant Human Bcl-xL	10μg/100μg/1mg	1671/6138/19650 元
P7253	Recombinant Human Bcl-w	5μg/100μg/1mg	669/5702/18280 元
P7257	Recombinant Human Bcl-2	5μg/100μg/1mg	669/5702/18280 元
SC0011	ABT-263 (Navitoclax) (Bcl-2 抑制剂)	10mM×0.2ml /5mg/25mg	391/668/2062 元
SC0015	ABT-737 (Bcl-2 抑制剂)	10mM×0.2ml /5mg/25mg	327/668/1906 元
SC0020	Veliparib (ABT-888) (PARP1 抑制剂)	10mM×0.2ml /5mg/25mg /5mg/25mg	80/541/1238 元
SC0029	AG14361 (PARP1 抑制剂)	10mM×0.2ml /5mg/25mg	257/1131/4612 元
SC0114	SM-164 (XIAP 抑制剂)	10mM×0.2ml /5mg/25mg /5mg/25mg	823/1219/3982 元

# 细胞死亡与自噬



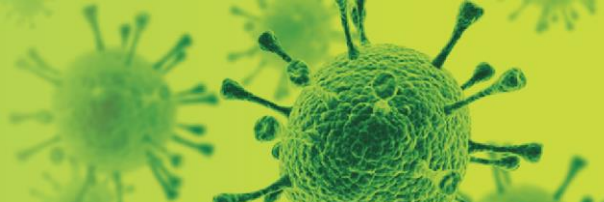
## 细胞凋亡

产品编号	产品名称	产品包装	产品价格
SC4336	PAC-1 (Caspase 激活剂)	10mM×0.2ml /5mg/25mg	117/493/919 元
SC4354	TW-37 (Bcl-2 抑制剂)	10mM×0.2ml /5mg/25mg	298/865/2207 元
SC4363	ABT-199 (Bcl-2 抑制剂)	10mM×0.2ml /5mg/25mg	756/1450/3147 元
SC4381	Obatoclox Mesylate (Bcl-2 抑制剂)	10mM×0.2ml /5mg/25mg	227/915/2825 元
SC4386	HA14-1 (Bcl-2 抑制剂)	10mM×0.2ml /5mg/25mg	141/161/559 元
SC9145	Rucaparib (PARP 抑制剂)	10mM×0.2ml /5mg/25mg	163/648/2172 元
ST316	MTT	500mg	215 元
ST511/12	Propidium Iodide/碘化丙啉	5mg/20mg	243/783 元

## 细胞坏死

产品编号	产品名称	产品包装	产品价格
C1053	7-AAD 细胞活力检测试剂盒	200 次/1000 次	206/828 元
C1058	细胞程序性坏死诱导试剂盒	100 次/500 次	955/3587 元
C3018	细胞自噬染色检测试剂盒(MDC 法)	50-500 次/200-2000 次	278/827 元
C3019	细胞自噬与细胞毒性染色检测试剂盒(MDC/PI 法)	50-500 次/200-2000 次	329/992 元
AF1039	MLKL Rabbit Monoclonal Antibody	50μl	709 元
AF2155	NLRP3 Rabbit Monoclonal Antibody	50μl	709 元
AF5231	MLKL Rabbit Polyclonal Antibody (KO Validated)	50μl	593 元
AF7893	RIP3 Rabbit Polyclonal Antibody	50μl	593 元
AF7896	RIP/RIPK1 Rabbit Polyclonal Antibody	50μl	593 元
C0009	MTT 细胞增殖及细胞毒性检测试剂盒	500 次/2500 次	253/759 元
C0011	台盼蓝染色细胞存活率检测试剂盒	100 次	109 元
C0013	中性红细胞增殖及细胞毒性检测试剂盒	500 次	289 元
C0016/17	乳酸脱氢酶细胞毒性检测试剂盒	100 次/500 次	223/617 元
C0035/36/36L	WST-1 细胞增殖及细胞毒性检测试剂盒	100 次/500 次/2500 次	99/408/1296 元
C0037/38/39/40	Cell Counting Kit-8 (CCK-8 试剂盒)	100 次/500 次/2500 次 /10000 次	99/410/1306/4386 元
C0041/42/43/46	Enhanced Cell Counting Kit-8 (增强型 CCK-8 试剂盒)	100 次/500 次/2500 次 /10000 次	132/482/1576/5251 元
C0056	CellTiter-Lumi™ II 发光法细胞活力检测试剂盒	100 次/500 次/2500 次 /10000 次	178/633/2571/8276 元
C0057	CellTiter-Lumi™ Plus II 发光法细胞活力检测试剂盒	100 次/500 次/2500 次 /10000 次	338/1166/4729/15332 元
C0058	CellTiter-Lumi™ Steady II 发光法细胞活力检测试剂盒	100 次/500 次/2500 次 /10000 次	193/669/2747/8895 元
C0059	CellTiter-Lumi™ Steady Plus II 发光法细胞活力检测试剂盒	100 次/500 次/2500 次 /10000 次	372/1242/5075/16471 元
C0065	CellTiter-Lumi™ 发光法细胞活力检测试剂盒	100 次/500 次/2500 次 /10000 次	178/633/2571/8276 元

# 细胞死亡与自噬



## 细胞坏死

产品编号	产品名称	产品包装	产品价格
C0068	CellTiter-Lumi™ Plus 发光法细胞活力检测试剂盒	100 次/500 次/2500 次 /10000 次	338/1166/4729/15332.0 元
C0069	CellTiter-Lumi™ Steady 发光法细胞活力检测试剂盒	100 次/500 次/2500 次 /10000 次	193/669/2747/8895 元
C0070	CellTiter-Lumi™ Steady Plus 发光法细胞活力检测试剂盒	100 次/500 次/2500 次 /10000 次	372/1242/5075/16471.0 元
C0061	CellTiter-Lumi™ 发光法 3D 细胞活力检测试剂盒	100 次/500 次/2500 次	418/1398/5598 元
C0062	CellTiter-Lumi™ II 发光法 3D 细胞活力检测试剂盒	100 次/500 次/2500 次	418/1398/5598 元
C1056	细胞凋亡与坏死检测试剂盒	100 次	246 元
C1070	Annexin V-mCherry/SYTOX Green 细胞凋亡检测试剂盒	20 次/50 次	689/1189 元
C1075	YO-PRO-1/PI 细胞凋亡与坏死检测试剂盒	100 次/500 次	475/1583 元
C2001S	线粒体膜电位检测试剂盒(TMRE)	100-1000 次	725 元
C2008S	线粒体膜电位检测试剂盒(Rhodamine 123)	100-1000 次	725 元
C2013	Calcein AM 细胞活性检测试剂盒(CCK-F)	100 次/500 次/2500 次	136/547/2028 元
C2015	Calcein/PI 细胞活性与细胞毒性检测试剂盒	100 次/500 次/2500 次	112/400/1613 元
C2022	YO-PRO-1 (凋亡与坏死细胞绿色荧光探针)	1mM×0.2ml /1mM×1ml	309/930 元
C2025	YO-PRO-1/RNase 细胞核染色液	10ml/50ml	143/433 元
P5322	Recombinant Human TNF-α/TNFSF2, His-tag	10μg/50μg/100μg/1mg	298/698/1168/6389 元
SC0114	SM-164 (XIAP 抑制剂)	10mM×0.2ml 5mg/25mg	823/1219/3982 元
SC4359	Necrostatin-1 (TNF-alpha 抑制剂)	10mM×0.2ml /5mg/25mg	152/322/1033 元
ST798	Trypan blue	1g	40 元

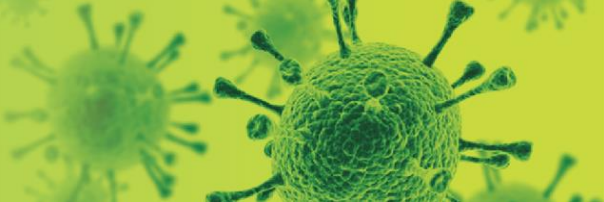
## 细胞焦亡

产品编号	产品名称	产品包装	产品价格
P9701	Ac-YVAD-pNA (Caspase 1 显色底物)	20mM×0.1ml /5mg/25mg	431/441/1539 元
ST798	Trypan blue	1g	40 元
AF1681	Caspase-1 Rabbit Monoclonal Antibody	50μl	709 元
AF2533	Caspase 5 Rabbit Monoclonal Antibody	50μl	709 元
C1101	Caspase 1 活性检测试剂盒	20 次	572 元
C1102	Caspase 1 活性检测试剂盒	100 次	1957 元
C1121	Caspase 4 活性检测试剂盒	20 次	601 元
C1122	Caspase 4 活性检测试剂盒	100 次	2073 元
S1732	LPS (TLR4 激活剂)	2mg/ml×0.25ml /5mg/25mg	213.0/1420/418 元
S1735	LPS (Ultrapure, TLR4 激活剂)	5mg/ml×0.1ml	452 元
AF2155	NLRP3 Rabbit Monoclonal Antibody	50μl	709 元

## 自噬

产品编号	产品名称	产品包装	产品价格
C0213	Earle's Balanced Salt Solution (自噬诱导试剂)	500ml	60 元
C0214	Earle's Balanced Salt Solution (with Ca2+ & Mg2+, 自噬诱导试剂)	500ml	60 元

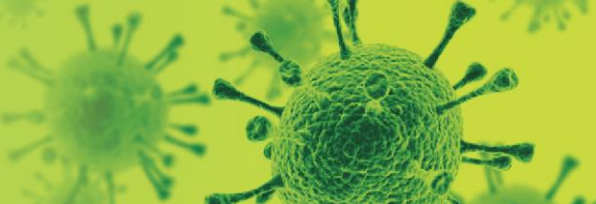
# 细胞死亡与自噬



## 自噬

产品编号	产品名称	产品包装	产品价格
C3002	Lenti-mCherry-EGFP-LC3B (10 <sup>9</sup> TU/ml)	100μl	2992 元
C3003	Lenti-EGFP-LC3B (10 <sup>9</sup> TU/ml)	100μl	2992 元
C3006	Ad-GFP-LC3B	1ml/10ml	910/3740 元
C3011	Ad-mCherry-GFP-LC3B	1ml/10ml	910/3740 元
C3012	AdPlus-mCherry-GFP-LC3B	1ml/10ml	1088/4401 元
C3013	AAV-mCherry-GFP-LC3B (AAV9, 10 <sup>13</sup> vp/ml)	250μl	6195 元
C3015	Ad-GFP-p62	1ml/10ml	910/3740 元
C3016	Ad-mCherry-p62	1ml/10ml	910/3740 元
AF5225	LC3B Rabbit Polyclonal Antibody (KO Validated)	50μl	593 元
AL221	LC3B 抗体(兔多抗)	>20 次	1000 元
AA820	Atg7 抗体(兔多抗)	>20 次	648 元
AF2083	ATG9A Rabbit Monoclonal Antibody	50μl	709 元
AF2269	ATG5 Rabbit Monoclonal Antibody	50μl	709 元
AF5123	Beclin 1 Rabbit Polyclonal Antibody (KO Validated)	50μl	593 元
AF5312	SQSTM1/p62 Rabbit Polyclonal Antibody (KO Validated)	50μl	858 元
AF6246	ATG3 Rabbit Polyclonal Antibody	50μl	593 元
AF6249	ATG13 Rabbit Polyclonal Antibody	50μl	593 元
AF6252	ATG16L1 Rabbit Polyclonal Antibody	50μl	593 元
AF8307	ULK1 Rabbit Polyclonal Antibody	50μl	593 元
AF8310	UVRAG Rabbit Polyclonal Antibody	50μl	593 元
AS391	Sirt1/Sir2 抗体(兔多抗)	>20 次	815 元
D2815	pCMV-GFP-LC3B	1μg/100μg	888/1169 元
D2816	pCMV-mCherry-GFP-LC3B	1μg/100μg	888/1169 元
D2817	pCMV-GFP-p62	1μg/100μg	888/1169 元
D2818	pCMV-mCherry-p62	1μg/100μg	888/1169 元
S1842	Rapamycin (FRAP/mTOR 抑制剂)	2mg/ml×0.5ml/ 5mg/25mg/500mg	313/370/838/5202 元
S1952	Wortmannin (PI3K 抑制剂)	0.5mg	493 元
SC0245	Torin 1 (mTOR 抑制剂)	10mM×0.2ml 5mg/25mg	207/568/2062 元
SC0321	Torin 2 (mTOR 抑制剂)	10mM×0.2ml 5mg/25mg	157/500/1758 元
SC5498	Spautin-1 (Autophagy 抑制剂)	10mM×0.2ml 5mg/25mg	152/347//1447 元
SC5502	SMER28 (Autophagy 增强剂)	10mM×0.2ml 5mg/25mg	152/348.0/1450 元
SC5507	GSK2578215A (LRRK2 抑制剂)	10mM×0.2ml 5mg/25mg	152/321/1132 元
SG0006	DBeq (p97 抑制剂)	10mM×0.2ml 5mg/25mg	141/421/1415 元

# 细胞组织染色



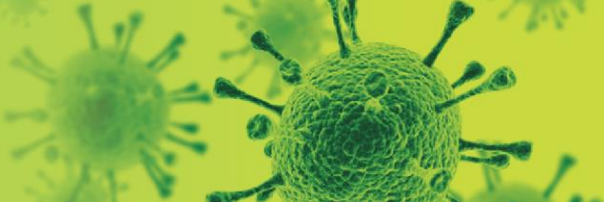
## 普通染色

产品编号	产品名称	产品包装	产品价格
C0105	苏木素伊红(HE)染色试剂盒	>200 次/>1000 次	351/1415 元
C0107	苏木素染色液	100ml/500ml	296/1200 元
C0109	伊红染色液	100ml	145 元
C0115	甲基绿染色液	100ml	168 元
C0117	尼氏(Nissl)染色液	100ml	225 元
C0119	甲基绿-派洛宁染色液	100ml	246 元
C0121	结晶紫染色液	100ml/500ml	86/351 元
C0123	中性红染色液	100ml	119 元
C0125	中性红染色液(活细胞染色用)	100ml	143 元
C0131	改良吉姆萨染色液(20X)	100ml/500ml	193/516 元
C0133	吉姆萨染色液(10X)	100ml/500ml	143/412 元
C0135	瑞氏染色液	100ml/500ml	68/195 元
C0138	茜素红 S 染色液(2%, pH4.2)	100ml/500ml	113/423 元
C0140	茜素红 S 染色液(0.2%, pH8.3)	100ml/500ml	61/236 元
C0142	过碘酸-雪夫(PAS)染色试剂盒	100 次/500 次	99/365 元
C0148S	成骨细胞矿化结节染色试剂盒(茜素红 S 法)	50 次	163 元
C0151	核固红染色液	100ml	79 元
C0153	阿尔新蓝-核固红染色试剂盒(pH1.0)	100 次/500 次	82/261 元
C0155	阿尔新蓝-核固红染色试剂盒(pH2.5)	100 次/500 次	82/261 元
C0161	盐酸乙醇慢速分化液	100ml/500ml	33/60 元
C0161L	盐酸乙醇慢速分化液(20X)	100ml	80 元
C0163	盐酸乙醇快速分化液	100ml/500ml	33/60 元
C0163L	盐酸乙醇快速分化液(20X)	100ml	80 元
C0165	盐酸乙醇超快速分化液	100ml/500ml	33/60 元
C0165L	盐酸乙醇超快速分化液(20X)	100ml	80 元
C0157	油红 O 染色试剂盒	50-250/200-1000 次	133/400 元
C0158	改良油红 O 染色试剂盒	50-250/200-1000 次	175/526 元
C0181	Kisser 封片液	10ml	50 元
C0183	Kisser 封片液(phenol free)	10ml	53 元
C0185	PVP 封片液	10ml	73 元
C0187	甘油明胶封片液	10ml	50 元
C0605	溶酶体β-半乳糖苷酶染色试剂盒	>100 次	538 元
C3206	BCIP/NBT 碱性磷酸酯酶显色试剂盒	共 100ml	246 元
C0602	细胞衰老β-半乳糖苷酶染色试剂盒	>100 次	682 元
P0112	BeyoCUBIC™ Animal Tissue Optical Clearing Kit	25ml/100ml/500ml	237/758/2658 元
P0115	BeyoCUBIC™-I Solution (透明化试剂)	100ml/500ml	396/1388 元
P0116	BeyoCUBIC™-II Solution (折光率调节试剂)	100ml/500ml	296/1028 元
P0117	BeyoCUBIC™ 100X Wash Buffer	100ml	78 元
P0118	BeyoCUBIC™ Mounting Solution	100ml/500ml	128/448 元

## 荧光染色

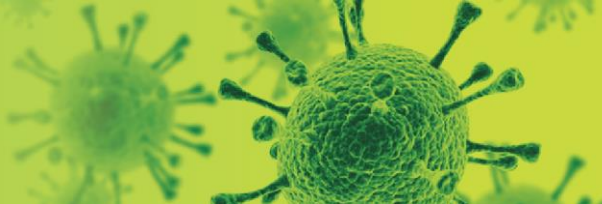
产品编号	产品名称	产品包装	产品价格
C1002	DAPI	5mg/ml×0.2ml	257 元
C1005/06	DAPI 染色液	10ml/50ml	105/365 元
C1011	Hoechst 33258	10mg	218 元
C1017/18	Hoechst 33258 染色液	10ml/50ml	111/362 元





## 荧光染色

产品编号	产品名称	产品包装	产品价格
C1022	Hoechst 33342	10mg	223 元
C1025/26	Hoechst 33342 染色液	10ml/50ml	105/353 元
C1027/28/29	Hoechst 33342 活细胞染色液(100X)	0.1ml/0.5ml/3ml	111/362/1098 元
C1031	CFDA SE (细胞增殖示踪荧光探针)	5mg	806 元
C1032/	Mito-Tracker Deep Red FM (线粒体远红外荧光探针)	50µg/250µg	398/1658 元
C1033	Actin-Tracker Green (微丝绿色荧光探针)	0.2ml	486 元
C1034	Mito-Tracker Deep Red 633 (线粒体远红外荧光探针)	50µg/250µg	298/998 元
C1035	Mito-Tracker Red CMXRos (线粒体红色荧光探针,高纯度)	50µg/250µg	402/1711 元
C1036	DiI (细胞膜红色荧光探针)	10mg	437 元
C1038	DiO (细胞膜绿色荧光探针)	10mg	472 元
C1039	DiD (细胞膜远红外荧光探针)	10mg	507 元
C1041	ER-Tracker Red (内质网红色荧光探针)	20µl/100µl/500µl	1303/3598/9998 元
C1042	ER-Tracker Green (内质网绿色荧光探针)	20µl/100µl/500µl	1303/3598/9998 元
C1043	Golgi-Tracker Red (高尔基体红色荧光探针)	1mg	1479 元
C1045S	Golgi-Tracker Green (高尔基体绿色荧光探针)	1mg	1759 元
C1046	Lyso-Tracker Red (溶酶体红色荧光探针)	50µl	381 元
C1047S	Lyso-Tracker Green (溶酶体绿色荧光探针)	50µl	393 元
C1048	Mito-Tracker Green (线粒体绿色荧光探针)	50µg	327 元
C1049B	Mito-Tracker Red CMXRos (线粒体红色荧光探针)	50µg/250µg	307/899 元
C1050	Tubulin-Tracker Red (抗体法微管红色荧光探针)	40µl	939 元
C1051S	Tubulin-Tracker Green (抗体法微管绿色荧光探针)	40µl	970 元
C1990	脂溶性荧光探针促溶剂(500X)	1ml/5ml	69/279 元
C1991S	细胞膜红色荧光染色试剂盒(DiI)	200-1000 次	412 元
C1993S	细胞膜绿色荧光染色试剂盒(DiO)	200-1000 次	433 元
C1995S	细胞膜远红外荧光染色试剂盒(DiD)	200-1000 次	475 元
C2001S	线粒体膜电位检测试剂盒(TMRE)	100-1000 次	725 元
C2003S	增强型线粒体膜电位检测试剂盒(JC-1)	>100 次	1138 元
C2005	JC-1	1mg	870 元
C2006	线粒体膜电位检测试剂盒(JC-1)	>100 次	942 元
C2007	Rhodamine 123	5mg	279 元
C2008S	线粒体膜电位检测试剂盒(Rhodamine 123)	100-1000 次	725 元
C2025	YO-PRO-1/RNase 细胞核染色液	10ml/50ml	143/433 元
C2035S	DNA 损伤检测试剂盒(γ-H2AX 免疫荧光法)	>100 次	1656 元
C2201S	Actin-Tracker Green-488 (微丝绿色荧光探针)	0.2ml	506 元
C2203S	Actin-Tracker Red-555 (微丝红色荧光探针)	0.2ml	506 元
C2205S	Actin-Tracker Red-594 (微丝红色荧光探针)	0.2ml	588 元
C2207S	Actin-Tracker Red-Rhodamine (微丝红色荧光探针)	0.2ml	506 元
C2213S	微管绿色荧光染色试剂盒(活细胞染色用)	20-200 次	713 元
C2215S	微管远红外荧光染色试剂盒(活细胞染色用)	20-200 次	713 元
P0112	BeyoCUBIC™ Animal Tissue Optical Clearing Kit	25ml/100ml/500ml	237/758/2658 元
P0115	BeyoCUBIC™-I Solution (透明化试剂)	100ml/500ml	396/1388 元
P0116	BeyoCUBIC™-II Solution (折光率调节试剂)	100ml/500ml	296/1028 元
P0117	BeyoCUBIC™ 100X Wash Buffer	100ml	78 元
P0118	BeyoCUBIC™ Mounting Solution	100ml/500ml	128/448 元
ST515	7-AAD (7-氨基放线菌素 D)	1mg	930 元
C1053	7-AAD 细胞活力检测试剂盒	200 次/1000 次	206/828 元

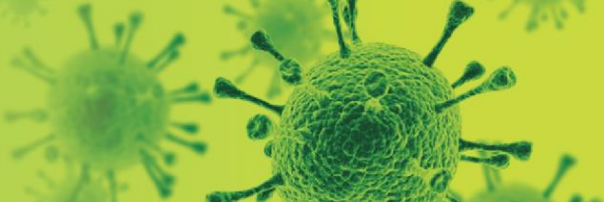


细胞膜

产品编号	产品名称	产品包装	产品价格
P0033	细胞膜蛋白与细胞浆蛋白提取试剂盒	100 次	700 元
C1036	DiI (细胞膜红色荧光探针)	10mg	437 元
C1038	DiO (细胞膜绿色荧光探针)	10mg	472 元
C1039	DiD (细胞膜远红外荧光探针)	10mg	507 元
C1991S	细胞膜红色荧光染色试剂盒(DiI)	200-1000 次	412 元
C1993S	细胞膜绿色荧光染色试剂盒(DiO)	200-1000 次	433 元
C1995S	细胞膜远红外荧光染色试剂盒(DiD)	200-1000 次	475 元
C1062	Annexin V-FITC 细胞凋亡检测试剂盒	20 次/50 次/100 次	616/1098/1566 元
C1065	Annexin V-PE 细胞凋亡检测试剂盒	20 次/50 次	716/1188 元
C1067	Annexin V-EGFP 细胞凋亡检测试剂盒	20 次/50 次	615/1096 元
C1069	Annexin V-mCherry 细胞凋亡检测试剂盒	20 次/50 次/100 次	589/959/1389 元
C1070	Annexin V-mCherry/SYTOX Green 细胞凋亡检测试剂盒	20 次/50 次	689/1189 元
C1071	线粒体膜电位与细胞凋亡检测试剂盒	20 次/50 次	725/1283 元
C1077	活细胞 Caspase-3 活性与 Annexin V 细胞凋亡检测试剂盒	20 次/50 次	828/1449 元
C1053M	7-AAD 细胞活力检测试剂盒	1000 次	828 元

细胞核

产品编号	产品名称	产品包装	产品价格
P0027	细胞核蛋白与细胞浆蛋白抽提试剂盒	50 次	525 元
P0028	细胞核蛋白与细胞浆蛋白抽提试剂盒	100 次	879 元
C0007	细胞凋亡-DNA Ladder 抽提试剂盒	50 次	219 元
C0008	细胞凋亡-DNA Ladder 抽提试剂盒(离心柱式)	50 次	496 元
C1002	DAPI	5mg/ml×0.2ml	257 元
C1005/06	DAPI 染色液	10ml/50ml	105/365 元
C1011	Hoechst 33258	10mg	218 元
C1017/18	Hoechst 33258 染色液	10ml/50ml	111/362 元
C1022	Hoechst 33342	10mg	223 元
C1025/26	Hoechst 33342 染色液	10ml/50ml	105/353 元
C1027/28/29	Hoechst 33342 活细胞染色液(100X)	0.1ml/0.5ml/3ml	111/362/1098 元
C0003	细胞凋亡-Hoechst 染色试剂盒	100 次	402 元
C2022	YO-PRO-1 (凋亡与坏死细胞绿色荧光探针)	1mM×0.2ml /1mM×1ml	309/930 元
C2025	YO-PRO-1/RNase 细胞核染色液	10ml/50ml	143/433 元
C1075	YO-PRO-1/PI 细胞凋亡与坏死检测试剂盒	100 次/500 次	475/1583 元
C1052	细胞周期与细胞凋亡检测试剂盒	50 次	338 元
C1053S	7-AAD 细胞活力检测试剂盒	200 次	206 元
C1058	细胞程序性坏死诱导试剂盒	100 次/500 次	955/3587 元
C1062	Annexin V-FITC 细胞凋亡检测试剂盒	20 次/50 次/100 次	616/1098/1566 元
C1067	Annexin V-EGFP 细胞凋亡检测试剂盒	20 次/50 次	615/1096 元
C1070	Annexin V-mCherry/SYTOX Green 细胞凋亡检测试剂盒	20 次/50 次	689/1189 元
C1077	活细胞 Caspase-3 活性与 Annexin V 细胞凋亡检测试剂盒	20 次/50 次	828/1449 元
C1086/88	一步法 TUNEL 细胞凋亡检测试剂盒(绿色荧光)	20 次/50 次	1472/2627 元
C1089	一步法 TUNEL 细胞凋亡检测试剂盒(红色荧光)	20 次/50 次	1505/2669 元
C1168	GreenNuc™活细胞 Caspase-3 活性检测试剂盒	20-40 次/100-200 次	441/1715 元
ST067	EdU	50mg/250mg/1g	358/1343/4175 元



## 细胞核

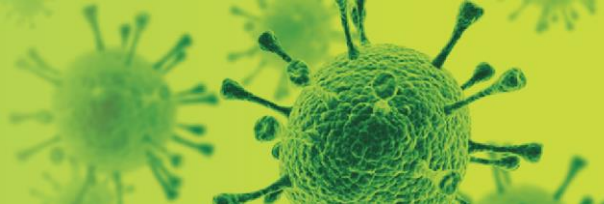
产品编号	产品名称	产品包装	产品价格
C0071	BeyoClick™ EdU-488 细胞增殖检测试剂盒	50-500 次/200-2000 次	690/2183 元
C0075	BeyoClick™ EdU-555 细胞增殖检测试剂盒	50-500 次/200-2000 次	690/2183 元
C0078	BeyoClick™ EdU-594 细胞增殖检测试剂盒	50-500 次/200-2000 次	690/2183 元
C0081	BeyoClick™ EdU-647 细胞增殖检测试剂盒	50-500 次/200-2000 次	690/2183 元
C2015	Calcein/PI 细胞活性与细胞毒性检测试剂盒	100 次/500 次/2500 次	112/400/1613 元
C3019	细胞自噬与细胞毒性染色检测试剂盒(MDC/PI 法)	50-500 次/200-2000 次	329/992 元
D2605	pCMV-NLS-AT1.03 (细胞核 ATP 荧光探针)	1μg/100μg	888/1169 元
C2035S	DNA 损伤检测试剂盒(γ-H2AX 免疫荧光法)	>100 次	1656 元
SN368	NF-κB 激活—核转运检测试剂盒(免多抗)	>50 次	1345 元
SN371	NF-κB 激活—核转运检测试剂盒(小鼠单抗)	>50 次	1346 元

## 线粒体

产品编号	产品名称	产品包装	产品价格
C3609	线粒体储存液	50ml	58 元
C3606	组织线粒体分离试剂盒	50-100 次	455 元
C3601	细胞线粒体分离试剂盒	50-100 次	453 元
C1048	Mito-Tracker Green (线粒体绿色荧光探针)	50μg	327 元
C1049B	Mito-Tracker Red CMXRos (线粒体红色荧光探针)	50μg/250μg	307/899 元
C1032	Mito-Tracker Deep Red FM (线粒体远红外荧光探针)	50μg/250μg	398/1658 元
C1034	Mito-Tracker Deep Red 633 (线粒体远红外荧光探针)	50μg/250μg	298/998 元
C1035	Mito-Tracker Red CMXRos (线粒体红色荧光探针,高纯度)	50μg/250μg	402/1711 元
D2606	pCMV-Mito-AT1.03 (线粒体 ATP 荧光探针)	1μg/100μg	888/1169 元
C1071	线粒体膜电位与细胞凋亡检测试剂盒	20 次/50 次	725/1283 元
C2001S	线粒体膜电位检测试剂盒(TMRE)	100-1000 次	725 元
C2003S	增强型线粒体膜电位检测试剂盒(JC-1)	>100 次	1138 元
C2005	JC-1	1mg	870 元
C2006	线粒体膜电位检测试剂盒(JC-1)	>100 次	942 元
C2007	Rhodamine 123	5mg	279 元
C2008S	线粒体膜电位检测试剂盒(Rhodamine 123)	100-1000 次	725 元
C2009S	线粒体通透性转换孔(MPTP)检测试剂盒	100-1000 次	1967 元
AC610	COX IV 抗体(免多抗)	>20 次	1068 元
AC908	Cytochrome C 抗体(小鼠单抗)	10μg	530 元
AC909	Cytochrome C 抗体(小鼠单抗)	>20 次	531 元
AF6555	CPS1 Rabbit Polyclonal Antibody	50μl	593 元
AF8028	SOD1 Rabbit Polyclonal Antibody	50μl	593 元

## 内质网

产品编号	产品名称	产品包装	产品价格
AP328	Phospho-PERK(Thr980)抗体(免单抗)	>20 次	986 元
AE850	ERp44 抗体(羊多抗)	>20 次	811 元
AE851	ERp44 抗体(免单抗)	>20 次	989 元
AI601	IRE1α抗体(免多抗)	>20 次	945 元
AC019	Calnexin 抗体(小鼠单抗)	>20 次	845 元
AC018	Calnexin 抗体(小鼠单抗)	>20 次	633 元
AC532	CHOP 抗体(小鼠单抗)	>20 次	1068 元



## 内质网

产品编号	产品名称	产品包装	产品价格
AB310	BiP 抗体(兔多抗)	>30 次	595 元
AP233	PDI 抗体(兔多抗)	>20 次	832 元
C1041	ER-Tracker Red (内质网红色荧光探针)	20μl/100μl/500μl	1303/3598/9998 元
C1042	ER-Tracker Green (内质网绿色荧光探针)	20μl/100μl/500μl	1303/3598/9998 元

## 高尔基体

产品编号	产品名称	产品包装	产品价格
C1045S	Golgi-Tracker Green (高尔基体绿色荧光探针)	1mg	1759 元
C1043	Golgi-Tracker Red (高尔基体红色荧光探针)	1mg	1479 元

## 溶酶体

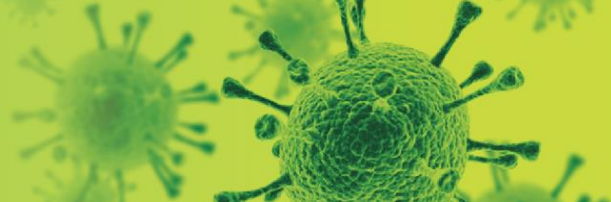
产品编号	产品名称	产品包装	产品价格
C1047S	Lyso-Tracker Green (溶酶体绿色荧光探针)	50μl	393 元
C1046	Lyso-Tracker Red (溶酶体红色荧光探针)	50μl	381 元
AA820	Atg7 抗体(兔多抗)	>20 次	648 元
AF7353	LAMP1 Rabbit Polyclonal Antibody	50μl	593 元
AF1036	LAMP2a Rabbit Monoclonal Antibody	50μl	709 元
AF2269	ATG5 Rabbit Monoclonal Antibody	50μl	709 元
AL221	LC3B 抗体(兔多抗)	>20 次	1068 元

## 外泌体

产品编号	产品名称	产品包装	产品价格
AF1192	CD9 Rabbit Monoclonal Antibody	50μl	709 元
AF0108	CD9 Rabbit Polyclonal Antibody	50μl	479 元
AF1471	CD63 Rabbit Monoclonal Antibody	50μl	709 元
AF2428	TAPA1/CD81 Rabbit Monoclonal Antibody	50μl	709 元
AF8259	TSG101 Rabbit Polyclonal Antibody	50μl	593 元
AF8262	TSG101 Rabbit Polyclonal Antibody	50μl	593 元
AF1156	Hsp70 Rabbit Monoclonal Antibody	50μl	709 元
AF0189	HSP70 Rabbit Polyclonal Antibody	50μl	482 元
AF7134	HSP70 Rabbit Polyclonal Antibody	50μl	593 元
AH728	HSP70 抗体(小鼠单抗)	>30 次	438 元
C4007	Lenti-CMV-CD9-EGFP (10^9TU/ml,外泌体示踪用)	100μl/100μl×5	2888/11588 元
C4009	Lenti-CMV-CD9-mCherry (10^9TU/ml,外泌体示踪用)	100μl/100μl×5	2888/11588 元
C4011	Lenti-CMV-CD63-EGFP (10^9TU/ml,外泌体示踪用)	100μl/100μl×5	2888/11588 元
C4013	Lenti-CMV-CD63-mCherry (10^9TU/ml,外泌体示踪用)	100μl/100μl×5	2888/11588 元
C4015	Lenti-CMV-CD81-EGFP (10^9TU/ml,外泌体示踪用)	100μl/100μl×5	2888/11588 元
C4017	Lenti-CMV-CD81-mCherry (10^9TU/ml,外泌体示踪用)	100μl/100μl×5	2888/11588 元

碧云天新品不断推出，目录所列价格仅供参考，具体信息请以官网为准

# 细胞产品引用文献摘选



## 细胞相关>细胞株

1. Li, Y et al. “Proteomic characterization of gastric cancer response to chemotherapy and targeted therapy reveals new therapeutic strategies.” **Nature communications** vol. 13,1 5723. 29 Sep. 2022 (IF17.694)

## 细胞相关>细胞组织培养

1. Meng, Y et al. “Targeting CRL4 suppresses chemoresistant ovarian cancer growth by inducing mitophagy.” **Signal transduction and targeted therapy** vol. 7,1 388. 9 Dec. 2022 (IF38.104)
2. Yang, SQ et al. “Targeting C3b/C4b and VEGF with a bispecific fusion protein optimized for neovascular age-related macular degeneration therapy.” **Science translational medicine** vol. 14,647 (2022) (IF19.319)
3. Wang, JJ et al. “The unconventional activation of the muscarinic acetylcholine receptor M4R by diverse ligands.” **Nature communications** vol. 13,1 2855. 23 May. 2022 (IF17.694)
4. Yuan, K et al. “Targeting dual-specificity tyrosine phosphorylation-regulated kinase 2 with a highly selective inhibitor for the treatment of prostate cancer.” **Nature communications** vol. 13,1 2903. 25 May. 2022 (IF17.694)
5. Xu, JH et al. “TEM8 marks neovascrogenic tumor-initiating cells in triple-negative breast cancer.” **Nature communications** vol. 12,1 4413. 20 Jul. 2021 (IF 17.694)
6. He, W et al. “High-salt diet inhibits tumor growth in mice via regulating myeloid-derived suppressor cell differentiation.” **Nature communications** vol. 11,1 1732. 7 Apr. 2020 (IF 17.694)
7. Huang YH et al. “IRF1-mediated downregulation of PGC1 $\alpha$  contributes to cardiorenal syndrome type 4.” **Nature communications** vol. 11,1 4664. 16 Sep. 2020 (IF17.694)
8. Liu MM et al. “Tracking endocytosis and intracellular distribution of spherical nucleic acids with correlative single-cell imaging.” **Nature protocols** vol. 16,1: 383-404 (2021) (IF17.021)
9. Wang, XY et al. “A far-red light-inducible CRISPR-Cas12a platform for remote-controlled genome editing and gene activation.” **Science advances** vol. 7,50 (2021) (IF14.957)
10. Qin YY et al. “Interfering MSN-NONO complex-activated CREB signaling serves as a therapeutic strategy for triple-negative breast cancer.” **Science advances** vol. 6,8 eaaw9960. 19 Feb. 2020 (IF14.957)
11. Zhang, XZ et al. “The perinuclear theca protein Calicin helps shape the sperm head and maintain the nuclear structure in mice.” **Cell reports** vol. 40,1 (2022) (IF 9.995)
12. Fang, HZ et al. “A membrane arm of mitochondrial complex I sufficient to promote respirasome formation.” **Cell reports** vol. 35,2 (2021) (IF9.995)

## 细胞增殖与分化>细胞增殖

1. Zhou, Y et al. “A small and highly sensitive red/far-red optogenetic switch for applications in mammals.” **Nature biotechnology** vol. 40,2 (2022) (IF68.164)
2. Li, Y et al. “Local hyperthermia therapy induces browning of white fat and treats obesity.” **Cell** vol. 185,6 (2022) (IF 66.850)
3. Qi, Y et al. “A plant immune protein enables broad antitumor response by rescuing microRNA deficiency.” **Cell** vol. 185,11 (2022) (IF 66.850)
4. Qiao, JX et al. “SARS-CoV-2 Mpro inhibitors with antiviral activity in a transgenic mouse model.” **Science (New York, N.Y.)** vol. 371,6536 (2021) (IF63.714)
5. Yang XY et al. Bacterial Endotoxin Activates the Coagulation Cascade through Gasdermin D-Dependent Phosphatidylserine Exposure. **Immunity** vol. 51,6: 983-996.e6, (2019) (IF 43.474)
6. Ma, QZ et al. “A PD-L1-targeting chimeric switch receptor enhances efficacy of CAR-T cell for pleural and peritoneal metastasis.” **Signal transduction and targeted therapy** vol. 7,1 380. 19 Nov. 2022 (IF38.104)
7. Ma, XH et al. “ALOX15-launched PUFA-phospholipids peroxidation increases the susceptibility of ferroptosis in ischemia-induced myocardial damage.” **Signal transduction and targeted therapy** vol. 7,1 288. 15 Aug. 2022 (IF38.104)
8. Wang, Lin et al. “Tripartite motif 16 ameliorates nonalcoholic steatohepatitis by promoting the degradation of phospho-TAK1.” **Cell metabolism** vol. 33,7 (2021) (IF31.373)
9. Xu WF et al. “Apaf-1 Pyroptosome Senses Mitochondrial Permeability Transition.” **Cell metabolism**, S1550-4131(20)30653-7. 8 Dec. 2020



# 细胞产品引用文献摘选



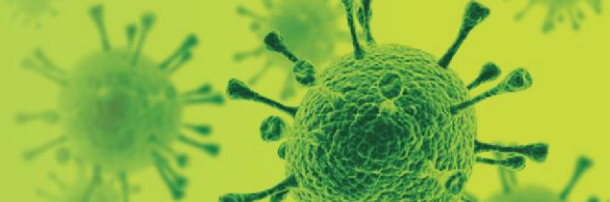
(IF31.373)

10. Zhao JC et al. “RYBP/YAF2-PRC1 complexes and histone H1-dependent chromatin compaction mediate propagation of H2AK119ub1 during cell division.” **Nature cell biology** vol. 22,4: 439-452. (2020) (IF 28.213)
11. Li, CZ et al. “Amino acid catabolism regulates hematopoietic stem cell proteostasis via a GCN2-eIF2 $\alpha$  axis.” **Cell stem cell** vol. 29,7 (2022) (IF25.269)
12. Hao MX et al. “Combination of metabolic intervention and T cell therapy enhances solid tumor immunotherapy.” **Science translational medicine** vol. 12,571 (2020): eaaz6667 (IF 19.319)
13. Yin, WC et al. “Structural basis for inhibition of the SARS-CoV-2 RNA polymerase by suramin.” **Nature structural & molecular biology** vol. 28,3 (2021) (IF 18.316)
14. Jin ZM et al. “Structural basis for the inhibition of SARS-CoV-2 main protease by antineoplastic drug carmofur.” **Nature structural & molecular biology** vol. 27,6: 529-532. (2020) (IF 18.361)
15. Gao, XD et al. “Cryptococcal Hsf3 controls intramitochondrial ROS homeostasis by regulating the respiratory process.” **Nature communications** vol. 13,1 5407. 15 Sep. 2022 (IF17.694)
16. Zhuang, XL et al. “Structure-guided and phage-assisted evolution of a therapeutic anti-EGFR antibody to reverse acquired resistance.” **Nature communications** vol. 13,1 4431. 30 Jul. 2022 (IF17.694)
17. Yong, L et al. “Calcium/calmodulin-dependent protein kinase IV promotes imiquimod-induced psoriatic inflammation via macrophages and keratinocytes in mice.” **Nature communications** vol. 13,1 4255. 22 Jul. 2022 (IF17.694)
18. Wang, Y et al. “ZFP281-BRCA2 prevents R-loop accumulation during DNA replication.” **Nature communications** vol. 13,1 3493. 17 Jun. 2022 (IF17.694)
19. He, HY et al. “Efficient, biosafe and tissue adhesive hemostatic cotton gauze with controlled balance of hydrophilicity and hydrophobicity.” **Nature communications** vol. 13,1 552. 27 Jan. 2022 (IF17.694)
20. Ren, H et al. “A bioactivated in vivo assembly nanotechnology fabricated NIR probe for small pancreatic tumor intraoperative imaging.” **Nature communications** vol. 13,1 418. 20 Jan. 2022 (IF17.694)
21. Huang, CX et al. “An injury-induced serotonergic neuron subpopulation contributes to axon regrowth and function restoration after spinal cord injury in zebrafish.” **Nature communications** vol. 12,1 7093. 7 Dec. 2021 (IF17.694)
22. Ying, L et al. “Paracrine FGFs target skeletal muscle to exert potent anti-hyperglycemic effects.” **Nature communications** vol. 12,1 7256. 14 Dec. 2021 (IF17.694)
23. Bao, WE et al. “MOFs-based nanoagent enables dual mitochondrial damage in synergistic antitumor therapy via oxidative stress and calcium overload.” **Nature communications** vol. 12,1 6399. 4 Nov. 2021 (IF17.694)
24. Fang, HP et al. “Combination of epigenetic regulation with gene therapy-mediated immune checkpoint blockade induces anti-tumour effects and immune response in vivo.” **Nature communications** vol. 12,1 6742. 18 Nov. 2021 (IF17.694)
25. Xu, ZY et al. “Endothelial deletion of SHP2 suppresses tumor angiogenesis and promotes vascular normalization.” **Nature communications** vol. 12,1 6310. 2 Nov. 2021 (IF17.694)
26. Yu, Na et al. “Modular ketal-linked prodrugs and biomaterials enabled by organocatalytic transisopropenylation of alcohols.” **Nature communications** vol. 12,1 5532. 20 Sep. 2021 (IF17.694)
27. Zhao, SJ et al. “Identification of potent human neutralizing antibodies against SARS-CoV-2 implications for development of therapeutics and prophylactics.” **Nature communications** vol. 12,1 4887. 9 Aug. 2021 (IF17.694)
28. Bao, ZY et al. “Prokineticin-2 prevents neuronal cell deaths in a model of traumatic brain injury.” **Nature communications** vol. 12,1 4220. 9 Jul. 2021 (IF17.694)
29. Ding, RB et al. “Molecular landscape and subtype-specific therapeutic response of nasopharyngeal carcinoma revealed by integrative pharmacogenomics.” **Nature communications** vol. 12,1 3046. 24 May. 2021 (IF17.694)
30. Yang, BW et al. “Intratutoral synthesis of nano-metalchelate for tumor catalytic therapy by ligand field-enhanced coordination.” **Nature communications** vol. 12,1 3393. 7 Jun. 2021 (IF17.694)
31. Huang, Y et al. “FUT8-mediated aberrant N-glycosylation of B7H3 suppresses the immune response in triple-negative breast cancer.” **Nature communications** vol. 12,1 2672. 11 May. 2021 (IF17.694)
32. Xu HQ et al. “AdipoR1/AdipoR2 dual agonist recovers nonalcoholic steatohepatitis and related fibrosis via endoplasmic reticulum-mitochondria axis.” **Nature communications** vol. 11,1 5807. 16 Nov. 2020 (IF17.694)
33. Liu YB et al. “Proteomic profiling and genome-wide mapping of O-GlcNAc chromatin-associated proteins reveal an O-GlcNAc-regulated genotoxic stress response.” **Nature communications** vol. 11,1 5898. 19 Nov. 2020 (IF17.694)



# 细胞产品引用文献摘选

34. Zhao CZ et al. “CRISPR screening of porcine sgRNA library identifies host factors associated with Japanese encephalitis virus replication.” **Nature communications** vol. 11,1 5178. 14 Oct. 2020 (IF17.694)
35. Wu F et al. “Swelling-strengthening hydrogels by embedding with deformable nanobarriers.” **Nature communications** vol. 11,1 4502. 9 Sep. 2020 (IF17.694)
36. Xie ST et al. “Aptamer-based optical manipulation of protein subcellular localization in cells.” **Nature communications** vol. 11,1 1347. 12 Mar. 2020 (IF17.694)
37. Song H., et al., Biocompatible PEGylated Gold nanorods function as cytokinesis inhibitors to suppress angiogenesis. **Biomaterials**, Sep;178:23-35, 2018(IF 15.304)
38. Xu L., et al., Platelet membrane coating coupled with solar irradiation endows a photodynamic nanosystem with both improved antitumor efficacy and undetectable skin damage. **Biomaterials**, Mar;159:59-67, 2018(IF15.304)
39. Li DL., et al., Multifunctional superparamagnetic nanoparticles conjugated with fluorescein-labeled designedankyrin repeat protein as an efficient HER2-targeted probe in breast cancer. **Biomaterials**, Dec;147:86-98, 2017(IF15.304)
40. Zhao H., et al., Airflow-Assisted 3D Bioprinting of Human Heterogeneous Microspheroidal Organoids with Microfluidic Nozzle. **Small**, Sep;14(39): e1802630, 2018 (IF 15.153)
41. Lei, YT et al. “Injectable hydrogel microspheres with self-renewable hydration layers alleviate osteoarthritis.” **Science advances** vol. 8,5 (2022) (IF14.957)
42. Qian, ZhJ et al. “Osteocalcin attenuates oligodendrocyte differentiation and myelination via GPR37 signaling in the mouse brain.” **Science advances** vol. 7,43 (2021) (IF14.957)
43. Cao, PB et al. “Genomic gain of RRS1 promotes hepatocellular carcinoma through reducing the RPL11-MDM2-p53 signaling.” **Science advances** vol. 7,35 eabf4304. 25 Aug. 2021 (IF14.957)
44. Zhang, YY et al. “Exendin-4 gene modification and microscaffold encapsulation promote self-persistence and antidiabetic activity of MSCs.” **Science advances** vol. 7,27 eabi4379. 2 Jul. 2021 (IF14.957)
45. Li XQ et al. “Targeting actin-bundling protein L-plastin as an anabolic therapy for bone loss.” **Science advances** vol. 6,47 eabb7135. 18 Nov. 2020(IF14.957)
46. Rong GY et al. “Fluoroalkylation promotes cytosolic peptide delivery.” **Science advances** vol. 6,33 eaaz1774. 12 Aug. 2020(IF14.957)
47. Jiang YQ et al. “Near-infrared light-triggered NO release for spinal cord injury repair.” **Science advances** vol. 6,39 eabc3513. 25 Sep. 2020(IF14.957)
48. Dong X et al. “Bioinorganic hybrid bacteriophage for modulation of intestinal microbiota to remodel tumor-immune microenvironment against colorectal cancer.” **Science advances** vol. 6,20 eaba1590. 15 May. 2020(IF14.957)
49. Meng J et al. “A multistage assembly/disassembly strategy for tumor-targeted CO delivery.” **Science advances** vol. 6,20 eaba1362. 15 May. 2020(IF14.957)
50. Zhang M et al. “3D printing of Haversian bone-mimicking scaffolds for multicellular delivery in bone regeneration.” **Science advances** vol. 6,12 eaaz6725. 20 Mar. 2020(IF14.957)
51. Bian, WX et al. “Low-density-lipoprotein-receptor-related protein 1 mediates Notch pathway activation.” **Developmental cell** vol. 56,20 (2021) (IF 13.417)
52. Ai, XF et al. “Transient secretion of VEGF protein from transplanted hiPSC-CMs enhances engraftment and improves rat heart function post MI.” **Molecular therapy : the journal of the American Society of Gene Therapy** vol. 31,1 (2023) (IF 12.910)
53. Lu, Ruitao et al. “USP18 and USP20 restrict oHSV-1 replication in resistant human oral squamous carcinoma cell line SCC9 and affect the viability of SCC9 cells.” **Molecular therapy oncolytics** vol. 23 477-487. 11 Nov. 2021 (IF 12.910)
54. Zhang Y., et al., Melatonin attenuates myocardial ischemia-reperfusion injury via improving mitochondrial fusion/mitophagy and activating the AMPK-OPA1 signaling pathways. **Journal of Pineal Research**, Mar;66(2):e12542, 2019 (IF 12.081)
55. Huang, CX et al. “De novo establishment of circuit modules restores locomotion after spinal cord injury in adult zebrafish.” **Cell reports** vol. 41,4 (2022) (IF 9.995)
56. Ding, GM et al. “Coordination of tumor growth and host wasting by tumor-derived Upd3.” **Cell reports** vol. 36,7 (2021) (IF9.995)
57. Liu, Fengzhen et al. “miR-24 controls the regenerative competence of hair follicle progenitors by targeting Plk3.” **Cell reports** vol. 35,10 (2021) (IF9.995)
58. Wang, J et al. “CSN7B defines a variant COP9 signalosome complex with distinct function in DNA damage response.” **Cell reports** vol. 34,4 (2021) (IF9.995)



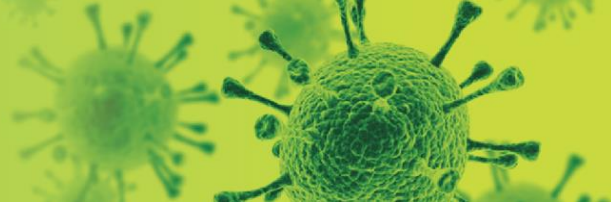
59. Li Y et al. “Photosensitizer-Laden Neutrophils Are Controlled Remotely for Cancer Immunotherapy.” **Cell reports** vol. 33,11 (2020) (IF9.995)

## 细胞增殖与分化>细胞衰老

1. Yang, Letian et al. “FFAR4 improves the senescence of tubular epithelial cells by AMPK/SirT3 signaling in acute kidney injury.” **Signal transduction and targeted therapy** vol. 7,1 384. 30 Nov. 2022 (IF 38.104)
2. Li LP et al. “Glis1 facilitates induction of pluripotency via an epigenome-metabolome-epigenome signalling cascade.” **Nature metabolism** vol. 2,9 (2020) (IF19.865)
3. Yao, SYu et al. “Nestin-dependent mitochondria-ER contacts define stem Leydig cell differentiation to attenuate male reproductive ageing.” **Nature communications** vol. 13,1 4020. 11 Jul. 2022 (IF17.694)
4. Jiang, B et al. “Progerin modulates the IGF-1R/Akt signaling involved in aging.” **Science advances** vol. 8,27 (2022) (IF14.957)
5. Zou YJ et al. “Illuminating NAD<sup>+</sup> Metabolism in Live Cells and In Vivo Using a Genetically Encoded Fluorescent Sensor.” **Developmental cell** vol. 53,2: 240-252.e7. (2020) (IF13.417)
6. Zhu, Qian et al. “Rack1 is essential for corticogenesis by preventing p21-dependent senescence in neural stem cells.” **Cell reports** vol. 36,9 (2021) (IF9.995)

## 细胞死亡与自噬>细胞凋亡

1. Zhang, YM et al. “Continuous air purification by aqueous interface filtration and absorption.” **Nature** vol. 610,7930 (2022) (IF 69.504)
2. Xu, LG et al. “Enantiomer-dependent immunological response to chiral nanoparticles.” **Nature** vol. 601,7893 (2022) (IF 69.504)
3. Ma JY., et al., Fatal swine acute diarrhoea syndrome caused by an HKU2-related coronavirus of bat origin. **Nature**, volume 556, pages 255–258 (2018) (IF 69.504)
4. Chen, BL et al. “A pyroptosis nanotuner for cancer therapy.” **Nature nanotechnology** vol. 17,7 (2022) (IF40.523)
5. Bu WB., et al., Magnesium silicide nanoparticles as a deoxygenation agent for cancer starvation therapy. **Nature Nanotechnology**, Volume 12, pages378-386 (2017) (IF 40.523)
6. Deng X., et al., Chronic Liver Injury Induces Conversion of Biliary Epithelial Cells into Hepatocytes., **Cell Stem Cell.**, Jul 5;23(1):114-122.e3, 2018 (IF 25.269)
7. Cao XT., et al., CCR7 Chemokine Receptor-Inducible Inc-Dpf3 Restrains Dendritic Cell Migration by Inhibiting HIF-1a-Mediated Glycolysis. **Immunity**, volume 50, pages 1-16 (2019) (IF 43.474)
8. Wang, S et al. “A single-cell transcriptomic landscape of the lungs of patients with COVID-19.” **Nature cell biology** vol. 23,12 (2021) (IF28.213)
9. Sun SH., et al., The MBNL3 splicing factor promotes hepatocellular carcinoma by increasing PXN expression through the alternative splicing of lncRNA-PXN-AS1. **Nature Cell Biology**, Volume 19, pages 820-832 (2017) (IF28.213)
10. Zhou B., et al., Tom20 senses iron-activated ROS signaling to promote melanoma cell pyroptosis., **Cell Research.**, Dec;28(12):1171-1185, 2018 (IF 46.297)
11. Chen, W et al. “Allergen protease-activated stress granule assembly and gasdermin D fragmentation control interleukin-33 secretion.” **Nature immunology** vol. 23,7 (2022) (IF31.250)
12. Ren, YJ et al. “Dual inhibition of innate immunity and apoptosis by human cytomegalovirus protein UL37x1 enables efficient virus replication.” **Nature microbiology** vol. 7,7 (2022) (IF30.964)
13. Xie, Yuhua et al. “Hair shaft miniaturization causes stem cell depletion through mechanosensory signals mediated by a Piezo1-calcium-TNF- $\alpha$  axis.” **Cell stem cell** vol. 29,1 (2022) (IF 25.269)
14. Xu, QX et al. “The flavonoid procyanidin C1 has senotherapeutic activity and increases lifespan in mice.” **Nature metabolism** vol. 3,12 (2021) (IF19.865)
15. Chen SS et al. “TBK1-Mediated DRP1 Targeting Confers Nucleic Acid Sensing to Reprogram Mitochondrial Dynamics and Physiology.” **Molecular cell** vol. 80,5: 810-827.e7. (2020) (IF 19.328)
16. Sun QM., et al., Pacer Is a Mediator of mTORC1 and GSK3-TIP60 Signaling in Regulation of Autophagosome Maturation and Lipid Metabolism. **Molecular Cell**, volume 73, pages 788-802 (2019) (IF 19.328)
17. Zhai, M et al. “Extracellular traps from activated vascular smooth muscle cells drive the progression of atherosclerosis.” **Nature communications** vol. 13,1 7500. 6 Dec. 2022 (IF17.694)



18. Liu, J et al. “GPR174 knockdown enhances blood flow recovery in hindlimb ischemia mice model by upregulating AREG expression.” **Nature communications** vol. 13,1 7519. 6 Dec. 2022 (IF17.694)
19. Tu, HL et al. “Tyrosine phosphorylation regulates RIPK1 activity to limit cell death and inflammation.” **Nature communications** vol. 13,1 6603. 3 Nov. 2022 (IF17.694)
20. Huang, DN et al. “Identification of a binding site on soluble RANKL that can be targeted to inhibit soluble RANK-RANKL interactions and treat osteoporosis.” **Nature communications** vol. 13,1 5338. 12 Sep. 2022 (IF17.694)
21. Wang, X et al. “A protein-based cGAS-STING nanoagonist enhances T cell-mediated anti-tumor immune responses.” **Nature communications** vol. 13,1 5685. 28 Sep. 2022 (IF17.694)
22. Zhou, J et al. “Programmable probiotics modulate inflammation and gut microbiota for inflammatory bowel disease treatment after effective oral delivery.” **Nature communications** vol. 13,1 3432. 14 Jun. 2022 (IF17.694)
23. Ye, Bo et al. “Oncogenic enhancers drive esophageal squamous cell carcinogenesis and metastasis.” **Nature communications** vol. 12,1 4457. 22 Jul. 2021 (IF17.694)
24. Qi, J et al. “Synergistic effect of tumor chemo-immunotherapy induced by leukocyte-hitchhiking thermal-sensitive micelles.” **Nature communications** vol. 12,1 4755. 6 Aug. 2021 (IF17.694)
25. Zhang, FF et al. “The long non-coding RNA  $\beta$ Faer regulates islet  $\beta$ -cell function and survival during obesity in mice.” **Nature communications** vol. 12,1 3997. 28 Jun. 2021 (IF17.694)
26. Yang, Bowen et al. “Intratumoral synthesis of nano-metalchelate for tumor catalytic therapy by ligand field-enhanced coordination.” **Nature communications** vol. 12,1 3393. 7 Jun. 2021 (IF17.694)
27. Shi TL et al. “Nanohole-boosted electron transport between nanomaterials and bacteria as a concept for nano-bio interactions.” **Nature communications** vol. 12,1 493. 21 Jan. 2021 (IF17.694)
28. Hu L et al. “Targeting USP47 overcomes tyrosine kinase inhibitor resistance and eradicates leukemia stem/progenitor cells in chronic myelogenous leukemia.” **Nature communications** vol. 12,1 51. 4 Jan. 2021 (IF17.694)
29. Zhu N et al. “Morphogenesis and cytopathic effect of SARS-CoV-2 infection in human airway epithelial cells.” **Nature communications** vol. 11,1 3910. 6 Aug. 2020 (IF17.694)
30. Li CZ et al. “Somatic SF3B1 hotspot mutation in prolactinomas.” **Nature communications** vol. 11,1 2506. 19 May. 2020 (IF17.694)
31. Liu TF et al. “Ultrasmall copper-based nanoparticles for reactive oxygen species scavenging and alleviation of inflammation related diseases.” **Nature communications** vol. 11,1 2788. 3 Jun. 2020 (IF17.694)
32. Zhao Y et al. “Liver governs adipose remodelling via extracellular vesicles in response to lipid overload.” **Nature communications** vol. 11,1 719. 5 Feb. 2020 (IF17.694)
33. Ao YF, et al., A small molecule promotes cartilage extracellular matrix generation and inhibits osteoarthritis development. **Nature Communications**, Volume 10, Article number: 1914 (2019) (IF17.694)
34. Zhou R., et al., Tumor microenvironment-manipulated radiocatalytic sensitizer based on bismuth heteropolytungstate for radiotherapy enhancement., **Biomaterials**., Jan;189:11-22, 2019 (IF 15.304)
35. Mu, XY et al. “An oligomeric semiconducting nanozyme with ultrafast electron transfers alleviates acute brain injury.” **Science advances** vol. 7,46 (2021) (IF14.957)
36. Zhang, YY et al. “Exendin-4 gene modification and microsccaffold encapsulation promote self-persistence and antidiabetic activity of MSCs.” **Science advances** vol. 7,27 eabi4379. 2 Jul. 2021 (IF14.957)
37. Xing, M et al. “Strontium ions protect hearts against myocardial ischemia/reperfusion injury.” **Science advances** vol. 7,3 eabe0726. 15 Jan. 2021 (IF14.957)
38. Jiang YQ et al. “Near-infrared light-triggered NO release for spinal cord injury repair.” **Science advances** vol. 6,39 eabc3513. 25 Sep. 2020 (IF14.957)
39. Ma RN et al. “DUSP6 SUMOylation protects cells from oxidative damage via direct regulation of Drp1 dephosphorylation.” **Science advances** vol. 6,13 eaaz0361. 25 Mar. 2020 (IF14.957)
40. Fan T., et al., Inhibiting MT2-TFE3-dependent autophagy enhances melatonin-induced apoptosis in tongue squamous cell carcinoma., **Journal of Pineal Research**., Mar;64(2), 2018 (IF 12.081)
41. Cao Z., et al., Melatonin alleviates cadmium-induced liver injury by inhibiting the TXNIP-NLRP3 inflammasome., **Journal of Pineal Research**., Apr;62(3), 2017 (IF 12.081)



42. Huo X., et al., Human transporters, PEPT1/2, facilitate melatonin transportation into mitochondria of cancer cells: An implication of the therapeutic potential., **Journal of Pineal Research**, May;62(4), 2017(**IF 12.081**)
43. Zhang, XZh et al. “The perinuclear theca protein Calicin helps shape the sperm head and maintain the nuclear structure in mice.” **Cell reports** vol. 40,1 (2022) (**IF 9.995**)
44. Yang, JG et al. “TRPS1 drives heterochromatic origin refiring and cancer genome evolution.” **Cell reports** vol. 34,10 (2021) (**IF 9.995**)

## 细胞死亡与自噬>细胞坏死

1. Chen, W et al. “Allergen protease-activated stress granule assembly and gasdermin D fragmentation control interleukin-33 secretion.” **Nature immunology** vol. 23,7 (2022) (**IF 31.250**)

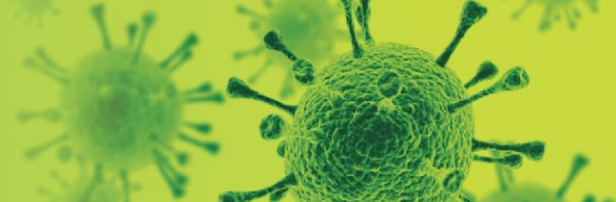
## 细胞死亡与自噬>自噬

1. Ren KL., et al., Piezoelectric nanofibrous scaffolds as in vivo energy harvesters for modifying fibroblast alignment and proliferation in wound healing. **Nano Energy**, volume 43, pages 63-71 (2018) (**IF 19.069**)

## 细胞相关>细胞组织染色

1. Xu, LQ et al. “Enantiomer-dependent immunological response to chiral nanoparticles.” **Nature** vol. 601,7893 (2022) (**IF 69.504**)
2. Zhou P et al. “A pneumonia outbreak associated with a new coronavirus of probable bat origin.” **Nature** vol. 579,7798 (2020): 270-273. (2020) (**IF 69.504**)
3. Li, Y et al. “Local hyperthermia therapy induces browning of white fat and treats obesity.” **Cell** vol. 185,6 (2022) (**IF 66.850**)
4. Guo CJ et al. “Distinct Processing of lncRNAs Contributes to Non-conserved Functions in Stem Cells.” **Cell** vol. 181,3: 621-636.e22. (2020) (**IF 66.850**)
5. Jiang RD et al. “Pathogenesis of SARS-CoV-2 in Transgenic Mice Expressing Human Angiotensin-Converting Enzyme 2.” **Cell** vol. 182,1: 50-58. e8. (2020) (**IF 66.850**)
6. Geng MY., et al., Targeting Epigenetic Crosstalk as a Therapeutic Strategy for EZH2-Aberrant Solid Tumors. **Cell**, Volume 175, ISSUE 1, P186-199 (2018) (**IF 66.850**)
7. Chai, QY et al. “A bacterial phospholipid phosphatase inhibits host pyroptosis by hijacking ubiquitin.” **Science (New York, N.Y.)** vol. 378,6616 (2022) (**IF 63.714**)
8. Han JC et al. “Elevated CXorf67 Expression in PFA Ependymomas Suppresses DNA Repair and Sensitizes to PARP Inhibitors.” **Cancer cell** vol. 38,6 (2020): 844-856.e7. (2020) (**IF 38.585**)
9. Meng, Y et al. “Targeting CRL4 suppresses chemoresistant ovarian cancer growth by inducing mitophagy.” **Signal transduction and targeted therapy** vol. 7,1 388. 9 Dec. 2022 (**IF 38.104**)
10. Ma, XH et al. “ALOX15-launched PUFA-phospholipids peroxidation increases the susceptibility of ferroptosis in ischemia-induced myocardial damage.” **Signal transduction and targeted therapy** vol. 7,1 288. 15 Aug. 2022 (**IF 38.104**)
11. Xu WF et al. “Apaf-1 Pyroptosome Senses Mitochondrial Permeability Transition.” **Cell metabolism**, S1550-4131(20)30653-7. 8 Dec. (2020) (**IF 31.373**)
12. Li, L et al. “Neisseria species as pathobionts in bronchiectasis.” **Cell host & microbe** vol. 30,9 (2022) (**IF 31.316**)
13. Qin L, et al., The Bacterial T6SS Effector EvpP Prevents NLRP3 Inflammasome Activation by Inhibiting the Ca<sup>2+</sup>-Dependent MAPK-Jnk Pathway. **Cell Host & Microbe**, volume 21, ISSUE 1, P47-58 (2017) (**IF 31.316**)
14. Wang C et al. “An electric-field-responsive paramagnetic contrast agent enhances the visualization of epileptic foci in mouse models of drug-resistant epilepsy.” **Nature biomedical engineering**, 10.1038/s41551-020-00618-4. 28 Sep. (2020) (**IF 29.234**)
15. Jiang XQ., et al., Successively activatable ultrasensitive probe for imaging tumour acidity and hypoxia. **Nature Biomedical Engineering**, volume 1, Article number: 0057 (2017) (**IF 29.234**)
16. Jiang, ZMn et al. “IFI16 directly senses viral RNA and enhances RIG-I transcription and activation to restrict influenza virus infection.” **Nature microbiology** vol. 6,7 (2021) (**IF 30.964**)
17. Cheng, JJ et al. “Diet-induced inflammation in the anterior paraventricular thalamus induces compulsive sucrose-seeking.” **Nature neuroscience** vol. 25,8 (2022) (**IF 28.771**)
18. Chen, Sujun et al. “Single-cell analysis reveals transcriptomic remodellings in distinct cell types that contribute to human prostate cancer progression.” **Nature cell biology** vol. 23,1 (2021) (**IF 28.213**)





19. Li, CZ et al. “Amino acid catabolism regulates hematopoietic stem cell proteostasis via a GCN2-eIF2 $\alpha$  axis.” **Cell stem cell** vol. 29,7 (2022) (IF25.269)
20. Zheng J et al. Interneuron Accumulation of Phosphorylated tau Impairs Adult Hippocampal Neurogenesis by Suppressing GABAergic Transmission. **Cell stem cell** vol. 26,3: 331-345.e6. (2020) (IF25.269)
21. Wang LY et al. “Overcoming Intrinsic H3K27me3 Imprinting Barriers Improves Post-Implantation Development after Somatic Cell Nuclear Transfer.” **Cell stem cell** vol. 27,2: 315-325.e5. (2020) (IF25.269)
22. Hu, YL et al. “Dual roles of hexokinase 2 in shaping microglial function by gating glycolytic flux and mitochondrial activity.” **Nature metabolism** vol. 4,12 (2022) (IF19.865)
23. Hou PP et al. “Ectosomal PKM2 Promotes HCC by Inducing Macrophage Differentiation and Remodeling the Tumor Microenvironment.” **Molecular cell** vol. 78,6: 1192-1206.e10. (2020) (IF19.328)
24. Zhu JW et al. “GIT/PIX Condensates Are Modular and Ideal for Distinct Compartmentalized Cell Signaling.” **Molecular cell** vol. 79,5: 782-796.e6. (2020) (IF19.328)
25. Lin JJ et al. “Paradoxical Mitophagy Regulation by PINK1 and TUFm.” **Molecular cell** vol. 80,4: 607-620.e12. (2020) (IF19.328)
26. Zhang B et al. “Reconstruction of the Hypothalamo-Neurohypophysial System and Functional Dissection of Magnocellular Oxytocin Neurons in the Brain.” **Neuron**, S0896-6273(20)30856-4. 10 Nov. 2020 (IF 18.688)
27. Zhu J et al. “Transient Delay-Period Activity of Agranular Insular Cortex Controls Working Memory Maintenance in Learning Novel Tasks.” **Neuron** vol. 105,5: 934-946.e5. (2020) (IF18.688)
28. Zhou, CJ et al. “CENP-F-dependent DRP1 function regulates APC/C activity during oocyte meiosis I.” **Nature communications** vol. 13,1 7732. 13 Dec. 2022 (IF17.694)
29. Song, K et al. “Targeting APLN/APJ restores blood-testis barrier and improves spermatogenesis in murine and human diabetic models.” **Nature communications** vol. 13,1 7335. 28 Nov. 2022 (IF17.694)
30. Xu, Y et al. “Mettl3-mediated mRNA m6A modification controls postnatal liver development by modulating the transcription factor Hnf4a.” **Nature communications** vol. 13,1 4555. 5 Aug. 2022 (IF17.694)
31. Zhong, WB et al. “An acquired phosphatidylinositol 4-phosphate transport initiates T-cell deterioration and leukemogenesis.” **Nature communications** vol. 13,1 4390. 29 Jul. 2022 (IF17.694)
32. You, YC et al. “Trypsin is a coordinate regulator of N and P nutrients in marine phytoplankton.” **Nature communications** vol. 13,1 4022. 12 Jul. 2022 (IF17.694)
33. Shen, WC et al. “Defect engineering of layered double hydroxide nanosheets as inorganic photosensitizers for NIR-III photodynamic cancer therapy.” **Nature communications** vol. 13,1 3384. 13 Jun. 2022 (IF17.694)
34. Wu, YW et al. “Dynamic mRNA degradome analyses indicate a role of histone H3K4 trimethylation in association with meiosis-coupled mRNA decay in oocyte aging.” **Nature communications** vol. 13,1 3191. 9 Jun. 2022 (IF17.694)
35. Yang, BW et al. “Construction of a two-dimensional artificial antioxidant for nanocatalytic rheumatoid arthritis treatment.” **Nature communications** vol. 13,1 1988. 13 Apr. 2022 (IF17.694)
36. Liu, YC et al. “Ratiometric afterglow luminescent nanoplateform enables reliable quantification and molecular imaging.” **Nature communications** vol. 13,1 2216. 25 Apr. 2022 (IF17.694)
37. Liu, CJ et al. “CHD7 regulates bone-fat balance by suppressing PPAR- $\gamma$  signaling.” **Nature communications** vol. 13,1 1989. 13 Apr. 2022 (IF17.694)
38. Song, GH et al. “Single-cell transcriptomic analysis suggests two molecularly subtypes of intrahepatic cholangiocarcinoma.” **Nature communications** vol. 13,1 1642. 28 Mar. 2022 (IF17.694)
39. Xue, S et al. “Phase separation on cell surface facilitates bFGF signal transduction with heparan sulphate.” **Nature communications** vol. 13,1 1112. 2 Mar. 2022 (IF17.694)
40. Liu, YH et al. “An optogenetic approach for regulating human parathyroid hormone secretion.” **Nature communications** vol. 13,1 771. 9 Feb. 2022 (IF17.694)
41. Xu, ZY et al. “Endothelial deletion of SHP2 suppresses tumor angiogenesis and promotes vascular normalization.” **Nature communications** vol. 12,1 6310. 2 Nov. 2021 (IF17.694)
42. Yu, N et al. “Modular ketal-linked prodrugs and biomaterials enabled by organocatalytic transisopropenylation of alcohols.” **Nature communications** vol. 12,1 5532. 20 Sep. 2021 (IF17.694)

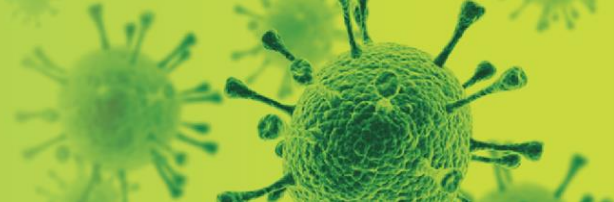
# 细胞产品引用文献摘选



43. Sun, YZ et al. "PTEN $\alpha$  functions as an immune suppressor and promotes immune resistance in PTEN-mutant cancer." **Nature communications** vol. 12,1 5147. 26 Aug. 2021 (IF17.694)
44. Qin, Ying et al. "TRIM28 SUMOylates and stabilizes NLRP3 to facilitate inflammasome activation." **Nature communications** vol. 12,1 4794. 9 Aug. 2021 (IF17.694)
45. Yang, BW et al. "Intratumoral synthesis of nano-metalchelate for tumor catalytic therapy by ligand field-enhanced coordination." **Nature communications** vol. 12,1 3393. 7 Jun. 2021 (IF17.694)
46. Zhang, Y et al. "Oocyte-derived microvilli control female fertility by optimizing ovarian follicle selection in mice." **Nature communications** vol. 12,1 2523. 5 May. 2021 (IF17.694)
47. Zhao, B et al. "Photocatalysis-mediated drug-free sustainable cancer therapy using nanocatalyst." **Nature communications** vol. 12,1 1345. 1 Mar. 2021 (IF17.694)
48. Zhou, HY et al. "DsbA-L deficiency in T cells promotes diet-induced thermogenesis through suppressing IFN- $\gamma$  production." **Nature communications** vol. 12,1 326. 12 Jan. 2021 (IF17.694)
49. Wang, Yawei et al. "Improvement of obesity-associated disorders by a small-molecule drug targeting mitochondria of adipose tissue macrophages." **Nature communications** vol. 12,1 102. 4 Jan. 2021 (IF17.694)
50. Zhao CZ et al. "CRISPR screening of porcine sgRNA library identifies host factors associated with Japanese encephalitis virus replication." **Nature communications** vol. 11,1 5178. 14 Oct. (2020) (IF17.694)
51. Xi K et al. "Microenvironment-responsive immunoregulatory electrospun fibers for promoting nerve function recovery." **Nature communications** vol. 11,1 4504. 9 Sep. (2020) (IF17.694)
52. Qi Yet al. "Nanocrystal facet modulation to enhance transferrin binding and cellular delivery." **Nature communications** vol. 11,1 1262. 9 Mar. (2020) (IF17.694)
53. He Wet al. "High-salt diet inhibits tumour growth in mice via regulating myeloid-derived suppressor cell differentiation." **Nature communications** vol. 11,1 1732. 7 Apr. (2020) (IF17.694)
54. Tang YH et al. "Preparation of robust fluorescent probes for tracking endogenous formaldehyde in living cells and mouse tissue slices." **Nature protocols** vol. 15,10 (2020): 3499-3526. (2020) (IF17.021)
55. Shi, YY et al. "Structural and biochemical characteristics of mRNA nanoparticles determine anti-SARS-CoV-2 humoral and cellular immune responses." **Science advances** vol. 8,47 (2022) (IF14.957)
56. Fan, NK et al. "Hierarchical self-uncloaking CRISPR-Cas13a-customized RNA nanococoons for spatial-controlled genome editing and precise cancer therapy." **Science advances** vol. 8,20 (2022) (IF14.957)
57. Liu, XH et al. "Computer-aided design of reversible hybridization chain reaction (CAD-HCR) enables multiplexed single-cell spatial proteomics imaging." **Science advances** vol. 8,2 (2022) (IF14.957)
58. Zhang, HZ et al. "Proteome-wide profiling of transcriptional machinery on accessible chromatin with biotinylated transposons." **Science advances** vol. 7,43 (2021) (IF14.957)
59. Zheng, Q et al. "Dynamic real-time imaging of living cell traction force by piezo-phototronic light nano-antenna array." **Science advances** vol. 7,22 eabe7738. 26 May. 2021 (IF14.957)
60. Wang XF et al. "IGF2R-initiated proton rechanneling dictates an anti-inflammatory property in macrophages." **Science advances** vol. 6,48 eabb7389. 25 Nov. (2020) (IF14.957)
61. Zhu YX et al. "Human TRA2A determines influenza A virus host adaptation by regulating viral mRNA splicing." **Science advances** vol. 6,25 eaaz5764. 19 Jun. (2020) (IF14.957)
62. Chen YW et al. "Targeted pathological collagen delivery of sustained-release rapamycin to prevent heterotopic ossification." **Science advances** vol. 6,18 eaay9526. 29 Apr. (2020) (IF14.957)
63. Chen H et al. "Regeneration of pulpo-dentinal-like complex by a group of unique multipotent CD24a+ stem cells." **Science advances** vol. 6,15 eaay1514. 8 Apr. (2020) (IF14.957)
64. He DX et al. "TRPC1 participates in the HSV-1 infection process by facilitating viral entry." **Science advances** vol. 6,12 eaaz3367. 18 Mar. (2020) (IF14.957)
65. Jiang YQ et al. "Near-infrared light-triggered NO release for spinal cord injury repair." **Science advances** vol. 6,39 eabc3513. 25 Sep. (2020) (IF14.957)
66. Chen, Di et al. "ORF3a of SARS-CoV-2 promotes lysosomal exocytosis-mediated viral egress." **Developmental cell** vol. 56,23 (2021) (IF 13.417)



# 细胞产品引用文献摘选



67. Lei, Q et al. “Autophagic elimination of ribosomes during spermiogenesis provides energy for flagellar motility.” **Developmental cell** vol. 56,16 (2021) (IF 13.417)
68. Duan, YT et al. “Balancing activation and co-stimulation of CAR tunes signaling dynamics and enhances therapeutic potency.” **Molecular therapy: the journal of the American Society of Gene Therapy** vol. 31,1 (2023) (IF 12.910)
69. Liang, XL et al. “Circular RNA circRAB31 acts as a miR-885-5psponge to suppress gastric cancer progression via the PTEN/PI3K/AKT pathway.” **Molecular therapy oncolytics** vol. 23 501-514. 11 Nov. 2021 (IF 12.910)
70. Zhang, XZh et al. “The perinuclear theca protein Calicin helps shape the sperm head and maintain the nuclear structure in mice.” **Cell reports** vol. 40,1 (2022) (IF 9.995)
71. Xu, LR et al. “CLOCK regulates Drp1 mRNA stability and mitochondrial homeostasis by interacting with PUF60.” **Cell reports** vol. 39,2 (2022) (IF 9.995)
72. Wang, Peng et al. “Phosphorylation of RAV1/2 by KIN10 is essential for transcriptional activation of CAT6/7, which underlies oxidative stress response in cassava.” **Cell reports** vol. 37,11 (2021) (IF 9.995)
73. Bai, WY et al. “The 3'-flap endonuclease XPF-ERCC1 promotes alternative end joining and chromosomal translocation during B cell class switching.” **Cell reports** vol. 36,13 (2021) (IF 9.995)
74. Zhang, Xuan et al. “Homocysteine inhibits pro-insulin receptor cleavage and causes insulin resistance via protein cysteine-homocysteinylation.” **Cell reports** vol. 37,2 (2021) (IF 9.995)
75. Kuang, WH et al. “SLC22A14 is a mitochondrial riboflavin transporter required for sperm oxidative phosphorylation and male fertility.” **Cell reports** vol. 35,3 (2021) (IF 9.995)
76. Chen XF et al. “linc-AAM Facilitates Gene Expression Contributing to Macrophage Activation and Adaptive Immune Responses.” **Cell reports** vol. 34,1 (2021): 108584. (2021) (IF 9.995)
77. Rong BW et al. “Ribosome 18S m6A Methyltransferase METTL5 Promotes Translation Initiation and Breast Cancer Cell Growth.” **Cell reports** vol. 33,12 (2020): 108544. (2020) (IF 9.995)
78. Jiang SE et al. “An Automated Organoid Platform with Inter-organoid Homogeneity and Inter-patient Heterogeneity.” **Cell reports. Medicine** vol. 1,9 100161. 22 Dec. 2020. (IF 9.995)
79. Wang JJ et al. “Talpid3-Mediated Centrosome Integrity Restrains Neural Progenitor Delamination to Sustain Neurogenesis by Stabilizing Adherens Junctions.” **Cell reports** vol. 33,11: 108495. (2020) (IF 9.995)

## 细胞样品制备>细胞组分分离

1. Xu, ZJ et al. “Anatomically distinct fibroblast subsets determine skin autoimmune patterns.” **Nature** vol. 601,7891 (2022) (IF 69.504)
2. Fu, AK et al. “Tumor-resident intracellular microbiota promotes metastatic colonization in breast cancer.” **Cell** vol. 185,8 (2022) (IF 66.850)
3. Yi Y et al., Genetically encoded fluorescent sensors reveal dynamic regulation of NADPH metabolism. **Nature Methods**, volume 14, P720-728 (2017) (IF 47.990)
4. Hu Y et al., iASPP Is an Antioxidative Factor and Drives Cancer Growth and Drug Resistance by Competing with Nrf2 for Keap1 Binding. **Cancer Cell**, volume 32, ISSUE 5, P561-573 (2017) (IF 38.585)
5. Xu WF et al. “Apaf-1 Pyroptosome Senses Mitochondrial Permeability Transition.” **Cell metabolism**, S1550-4131(20)30653-7. 8 Dec. 2020 (IF 31.373)
6. Huang Z et al., Induction of INK1 by Viral Infection Negatively Regulates Antiviral Responses through Inhibiting Phosphorylation of p65 and IRF3. **Cell Host & Microbe**, volume 22, ISSUE 1, P86-98 (2017) (IF 31.316)
7. Yan GR., et al., A Peptide Encoded by a Putative lncRNA HOXB-AS3 Suppresses Colon Cancer Growth. **Molecular Cell**, volume 68, ISSUE 1, P171-184 (2017) (IF 19.328)
8. Wu, JF et al. “A p38 $\alpha$ -BLIMP1 signalling pathway is essential for plasma cell differentiation.” **Nature communications** vol. 13,1 7321. 28 Nov. 2022 (IF 17.694)
9. Bai, XM et al. “The protein arginine methyltransferase PRMT9 attenuates MAVS activation through arginine methylation.” **Nature communications** vol. 13,1 5016. 26 Aug. 2022 (IF 17.694)
10. Wang, YF et al. “The kinase complex mTORC2 promotes the longevity of virus-specific memory CD4<sup>+</sup> T cells by preventing ferroptosis.” **Nature immunology** vol. 23,2 (2022) (IF 17.694)

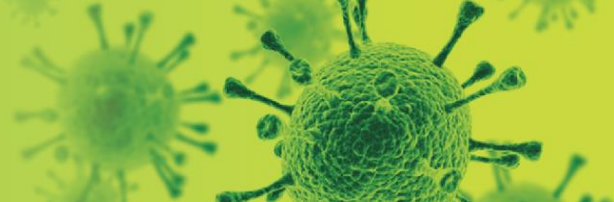
# 细胞产品引用文献摘选



11. Zhao TS et al. “Metaxins are core components of mitochondrial transport adaptor complexes.” **Nature communications** vol. 12,1 83. 4 Jan. 2021 (IF17.694)
12. Guo L et al. “PINCH-1 regulates mitochondrial dynamics to promote proline synthesis and tumor growth.” **Nature communications** vol. 11,1 4913. 1 Oct. 2020 (IF17.694)
13. Chen LF, et al., Macrophage achieves self-protection against oxidative stress-induced ageing through the Mst-Nrf2 axis. **Nature Communications**, Volume 10, Article number: 755 (2019) (IF17.694)
14. Yang Y., et al., Mitochondrial dynamics controls anti-tumour innate immunity by regulating CHIP-IRF1 axis stability. **Nature Communications**, volume 8, Article number: 1805 (2017) (IF17.694)
15. Sun, JY et al. “High-efficiency quantitative control of mitochondrial transfer based on droplet microfluidics and its application on muscle regeneration.” **Science advances** vol. 8,33 (2022) (IF14.957)
16. Zhai, XY et al. “Mitochondrial C1qbp promotes differentiation of effector CD8+ T cells via metabolic-epigenetic reprogramming.” **Science advances** vol. 7,49 (2021) (IF14.957)
17. Dou G et al. “Chimeric apoptotic bodies functionalized with natural membrane and modular delivery system for inflammation modulation.” **Science advances** vol. 6,30 eaba2987. 22 Jul. 2020 (IF14.957)
18. Bian, WX et al. “Low-density-lipoprotein-receptor-related protein 1 mediates Notch pathway activation.” **Developmental cell** vol. 56,20 (2021) (IF 13.417)
19. Kuang, WH et al. “SLC22A14 is a mitochondrial riboflavin transporter required for sperm oxidative phosphorylation and male fertility.” **Cell reports** vol. 35,3 (2021) (IF9.995)
20. Chen XF et al. “linc-AAM Facilitates Gene Expression Contributing to Macrophage Activation and Adaptive Immune Responses.” **Cell reports** vol. 34,1 (2021) (IF9.995)

## 基因表达调控>细胞转染

1. Zhou, Y et al. “A small and highly sensitive red/far-red optogenetic switch for applications in mammals.” **Nature biotechnology** vol. 40,2 (2022) (IF68.164)
2. Yao, JF et al. “Macrophage IRX3 promotes diet-induced obesity and metabolic inflammation.” **Nature immunology** vol. 22,10 (2021) (IF31.250)
3. Li Q, Li Y, Yang S, et al. CRISPR–Cas9-mediated base-editing screening in mice identifies DND1 amino acids that are critical for primordial germ cell development. **Nature Cell Biology**, 2018. (IF28.213)
4. Wang, J et al. “A fourth dose of the inactivated SARS-CoV-2 vaccine redistributes humoral immunity to the N-terminal domain.” **Nature communications** vol. 13,1 6866. 11 Nov. 2022 (IF 17.694)
5. He, C et al. “A self-assembled trimeric protein vaccine induces protective immunity against Omicron variant.” **Nature communications** vol. 13,1 5459. 17 Sep. 2022 (IF 17.694)
6. Zhai, YS et al. “Spatiotemporal-resolved protein networks profiling with photoactivation dependent proximity labeling.” **Nature communications** vol. 13,1 4906. 20 Aug. 2022 (IF 17.694)
7. Chen, X et al. “Differential metabolic requirement governed by transcription factor c-Maf dictates innate  $\gamma\delta$ T17 effector functionality in mice and humans.” **Science advances** vol. 8,21 (2022) (IF14.957)
8. Hu, K et al. “A tRNA-derived fragment of ginseng protects heart against ischemia/reperfusion injury via targeting the lncRNA MIAT/VEGFA pathway.” **Molecular therapy. Nucleic acids** vol. 29 672-688. 13 Aug. 2022 (IF 12.910)
9. Zheng, ZL et al. “Lysine crotonylation regulates leucine-deprivation-induced autophagy by a 14-3-3 $\epsilon$ -PPM1B axis.” **Cell reports** vol. 41,12 (2022) (IF 9.995)
10. Zhang, Yan et al. “MK2 promotes Tfcp2l1 degradation via  $\beta$ -TrCP ubiquitin ligase to regulate mouse embryonic stem cell self-renewal.” **Cell reports** vol. 37,5 (2021) (IF9.995)
11. Han L, Wang W, Lu J, et al. AAV-sBTLA facilitates HSP70 vaccine-triggered prophylactic antitumor immunity against a murine melanoma pulmonary metastasis model in vivo. **Cancer letters**, 2014, 354(2): 398-406. (2014) (IF 9.756)



## 信号转导>信号小分子检测

1. Chen, PF et al. "A plant-derived natural photosynthetic system for improving cell anabolism." **Nature** vol. 612,7940 (2022) (IF69.504)
2. Gao, MJ et al. "Ca<sup>2+</sup> sensor-mediated ROS scavenging suppresses rice immunity and is exploited by a fungal effector." **Cell** vol. 184,21 (2021) (IF66.850)
3. Cao XT., et al., CCR7 Chemokine Receptor-Inducible Inc-Dpf3 Restrains Dendritic Cell Migration by Inhibiting HIF-1 $\alpha$ -Mediated Glycolysis. **Immunity**, ISSUE 50, P1-16 (2019) (IF43.474)
4. Ye, MZ et al. "NAD(H)-loaded nanoparticles for efficient sepsis therapy via modulating immune and vascular homeostasis." **Nature nanotechnology** vol. 17,8 (2022) (IF40.523)
5. Meng, Y et al. "Targeting CRL4 suppresses chemoresistant ovarian cancer growth by inducing mitophagy." **Signal transduction and targeted therapy** vol. 7,1 388. 9 Dec. 2022 (IF 38.104)
6. Yang, LT et al. "FFAR4 improves the senescence of tubular epithelial cells by AMPK/SirT3 signaling in acute kidney injury." **Signal transduction and targeted therapy** vol. 7,1 384. 30 Nov. 2022 (IF 38.104)
7. Ma, XH et al. "ALOX15-launched PUFA-phospholipids peroxidation increases the susceptibility of ferroptosis in ischemia-induced myocardial damage." **Signal transduction and targeted therapy** vol. 7,1 288. 15 Aug. 2022 (IF 38.104)
8. Wu M., et al., CircACC1 Regulates Assembly and Activation of AMPK Complex under Metabolic Stress, **Cell Metabolism**, VOLUME 30, ISSUE 1, P157-173.E7, JULY 02, 2019. (IF31.373)
9. Hao H., et al., Farnesoid X Receptor Regulation of the NLRP3 Inflammasome Underlies Cholestasis-Associated Sepsis. **Cell Metabolism**, Apr 4;25(4):856-867.e5 (2017) (IF31.373)
10. Yao, Y et al. "Selenium-GPX4 axis protects follicular helper T cells from ferroptosis." **Nature immunology** vol. 22,9 (2021) (IF31.250)
11. Li, CZ et al. "Amino acid catabolism regulates hematopoietic stem cell proteostasis via a GCN2-eIF2 $\alpha$  axis." **Cell stem cell** vol. 29,7 (2022) (IF25.269)
12. Xiong, J et al. "Lactylation-driven METTL3-mediated RNA m6A modification promotes immunosuppression of tumor-infiltrating myeloid cells." **Molecular cell** vol. 82,9 (2022) (IF19.328)
13. Chen X., et al., Drug-Porous Silicon Dual Luminescent System for Monitoring and Inhibition of Wound Infection. **ACS Nano**, Aug 22;11(8):7938-7949 (2017) (IF 18.027)
14. Zhang, SF et al. "Single-atom nanozymes catalytically surpassing naturally occurring enzymes as sustained stitching for brain trauma." **Nature communications** vol. 13,1 4744. 12 Aug. 2022 (IF 17.694)
15. Xia, JL et al. "Blocking glycine utilization inhibits multiple myeloma progression by disrupting glutathione balance." **Nature communications** vol. 13,1 4007. 11 Jul. 2022 (IF 17.694)
16. Wu, YW et al. "Dynamic mRNA degradome analyses indicate a role of histone H3K4 trimethylation in association with meiosis-coupled mRNA decay in oocyte aging." **Nature communications** vol. 13,1 3191. 9 Jun. 2022 (IF 17.694)
17. Liu, RL et al. "MicroRNA-21 promotes pancreatic  $\beta$  cell function through modulating glucose uptake." **Nature communications** vol. 13,1 3545. 21 Jun. 2022 (IF 17.694)
18. Li, X et al. "Reversing insufficient photothermal therapy-induced tumor relapse and metastasis by regulating cancer-associated fibroblasts." **Nature communications** vol. 13,1 2794. 19 May. 2022 (IF 17.694)
19. Li, Q et al. "Collateral sensitivity to pleuromutilins in vancomycin-resistant *Enterococcus faecium*." **Nature communications** vol. 13,1 1888. 7 Apr. 2022 (IF 17.694)
20. Liu, XX et al. "Phloem iron remodels root development in response to ammonium as the major nitrogen source." **Nature communications** vol. 13,1 561. 28 Jan. 2022 (IF 17.694)
21. Li, H et al. "Theranostic near-infrared-IIb emitting nanoprobe for promoting immunogenic radiotherapy and abscopal effects against cancer metastasis." **Nature communications** vol. 12,1 7149. 9 Dec. 2021 (IF 17.694)
22. Wang, GH et al. "A nanounit strategy reverses immune suppression of exosomal PD-L1 and is associated with enhanced ferroptosis." **Nature communications** vol. 12,1 5733. 30 Sep. 2021 (IF 17.694)
23. Yang, ZJ et al. "USP12 downregulation orchestrates a protumorigenic microenvironment and enhances lung tumour resistance to PD-1 blockade." **Nature communications** vol. 12,1 4852. 11 Aug. 2021 (IF 17.694)
24. Feng, W et al. "2D vanadium carbide MXene to alleviate ROS-mediated inflammatory and neurodegenerative diseases." **Nature communications** vol. 12,1 2203. 13 Apr. 2021 (IF 17.694)

# 细胞产品引用文献摘选



25. Weng, QJ et al. “Catalytic activity tunable ceria nanoparticles prevent chemotherapy-induced acute kidney injury without interference with chemotherapeutics.” **Nature communications** vol. 12,1 1436. 4 Mar. 2021 (IF 17.694)
26. Zhang, BF et al. “Long-term exposure to a hypomagnetic field attenuates adult hippocampal neurogenesis and cognition.” **Nature communications** vol. 12,1 1174. 19 Feb. 2021 (IF 17.694)
27. Liu, HL et al. “Catalytically potent and selective clusterzymes for modulation of neuroinflammation through single-atom substitutions.” **Nature communications** vol. 12,1 114. 7 Jan. 2021 (IF 17.694)
28. Mu, XY et al. “An oligomeric semiconducting nanozyme with ultrafast electron transfers alleviates acute brain injury.” **Science advances** vol. 7,46 (2021) (IF14.957)
29. Shen Z., et al., PARK2-dependent mitophagy induced by acidic postconditioning protects against focal cerebral ischemia and extends the reperfusion window. **Autophagy**, Mar 4;13(3):473-485 (2017) (IF 13.391)
30. Shi, WQ et al. “A novel anti-PD-L1/IL-15 immunocytokine overcomes resistance to PD-L1 blockade and elicits potent antitumor immunity.” **Molecular therapy: the journal of the American Society of Gene Therapy** vol. 31,1 (2023) (IF12.910)
31. Pei HF., et al., Melatonin attenuates postmyocardial infarction injury via increasing Tom70 expression. **Journal of Pineal Research**, Jan;62(1) (2017) (IF12.081)
32. Zhou H., et al., Effects of melatonin on fatty liver disease: The role of NR4A1/DNA-PKcs/p53 pathway mitochondrial fission and mitophagy. **Journal of Pineal Research**, Jan;64(1) (2018) (IF12.081)
33. Yi, WW et al. “Protein S-nitrosylation regulates proteostasis and viability of hematopoietic stem cell during regeneration.” **Cell reports** vol. 34,13 (2021) (IF9.995)

## 信号转导>转录调控

1. Qi, Y et al. “A plant immune protein enables broad antitumor response by rescuing microRNA deficiency.” **Cell** vol. 185,11 (2022) (IF66.850)
2. Wang, J et al. “Identification and evaluation of a lipid-lowering small compound in preclinical models and in a Phase I trial.” **Cell metabolism** vol. 34,5 (2022) (IF31.373)
3. Cheng, i et al. “Biomimetic material degradation for synergistic enhanced therapy by regulating endogenous energy metabolism imaging under hypothermia.” **Nature communications** vol. 13,1 4567. 5 Aug. 2022 (IF17.694)
4. Zhong, Q et al. “Cryo-EM structure of human Wntless in complex with Wnt3a.” **Nature communications** vol. 12,1 4541. 27 Jul. 2021 (IF17.694)
5. Liang, X et al. “A C-terminal glutamine recognition mechanism revealed by E3 ligase TRIM7 structures.” **Nature chemical biology** vol. 18,11 (2022) (IF 16.174)
6. Gao, SY et al. “PKM2 promotes pulmonary fibrosis by stabilizing TGF- $\beta$ 1 receptor I and enhancing TGF- $\beta$ 1 signaling.” **Science advances** vol. 8,38 (2022) (IF14.957)
7. Wan, T et al. “Exosome-mediated delivery of Cas9 ribonucleoprotein complexes for tissue-specific gene therapy of liver diseases.” **Science advances** vol. 8,37 (2022) (IF14.957)
8. Zou, Y et al. “Blood-brain barrier-penetrating single CRISPR-Cas9 nanocapsules for effective and safe glioblastoma gene therapy.” **Science advances** vol. 8,16 (2022) (IF14.957)
9. Wei, YX et al. “Heat shock protein 90 co-chaperone modules fine-tune the antagonistic interaction between salicylic acid and auxin biosynthesis in cassava.” **Cell reports** vol. 34,5 (2021) (IF9.995)

## 信号转导>荧光探针

1. Zhou B., et al., Tom20 senses iron-activated ROS signaling to promote melanoma cell pyroptosis. **Cell Research**, Dec;28(12):1171-1185 (2018) (IF46.297)
2. Cao XT., et al., CCR7 Chemokine Receptor-Inducible Inc-Dpf3 Restrains Dendritic Cell Migration by Inhibiting HIF-1 $\alpha$ -Mediated Glycolysis. **Immunity**, ISSUE 50, P1-16 (2019) (IF43.474)
3. Ye, MZ et al. “NAD(H)-loaded nanoparticles for efficient sepsis therapy via modulating immune and vascular homeostasis.” **Nature nanotechnology** vol. 17,8 (2022) (IF40.523)
4. Shen, WC et al. “Defect engineering of layered double hydroxide nanosheets as inorganic photosensitizers for NIR-III photodynamic cancer therapy.” **Nature communications** vol. 13,1 3384. 13 Jun. 2022 (IF17.694)

# 细胞产品引用文献摘选

5. Wang, LQ et al. “Perfluoroalkyl substance pollutants activate the innate immune system through the AIM2 inflammasome.” **Nature communications** vol. 12,1 2915. 18 May. 2021 **(IF17.694)**
6. Liu, HL et al. “Catalytically potent and selective clusterzymes for modulation of neuroinflammation through single-atom substitutions.” **Nature communications** vol. 12,1 114. 7 Jan. 2021 **(IF17.694)**
7. Li YP., et al., Bioinspired lipoproteins-mediated photothermia remodels tumor stroma to improve cancer cell accessibility of second nanoparticles. **Nature Communications**, volume 10, Article number: 3322 (2019) **(IF17.694)**
8. Liu J., et al., Ultrasound molecular imaging of acute cardiac transplantation rejection using nanobubbles targeted to T lymphocytes. **Biomaterials**, Apr;162:200-207 (2018) **(IF15.304)**
9. Shen S., et al., Folate-conjugated nanobubbles selectively target and kill cancer cells via ultrasound-triggered intracellular explosion. **Biomaterials**, Oct;181:293-306 (2018) **(IF15.304)**
10. Ju C., et al., Neoadjuvant Chemotherapy Based on Abraxane/Human Neutrophils Cytopharmaceuticals with Radiotherapy for Gastric Cancer. **Small**, Feb;15(5): e1804191 (2019) **(IF15.153)**
11. Mu, XY et al. “An oligomeric semiconducting nanozyme with ultrafast electron transfers alleviates acute brain injury.” **Science advances** vol. 7,46 (2021) **(IF14.957)**
12. Wang Y., et al., A functional nanocarrier that copenetrates extracellular matrix and multiple layers of tumor cells for sequential and deep tumor autophagy inhibitor and chemotherapeutic delivery. **Autophagy**, Feb;13(2):359-370 (2017) **(IF 13.391)**